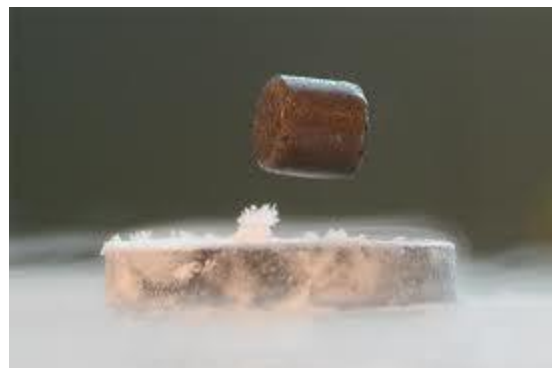
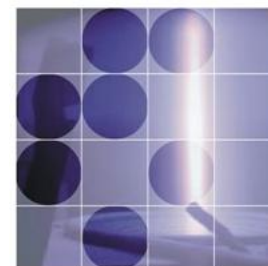


Prvih 100 let superprevodnosti



Peter Prelovšek



FMF - 21. januar 2012

Teme

- 1. Superprevodnost in HTC: 2011 – memorialno leto**
 - pregled zgodovine SP
- 2. Osnovne lastnosti (standardnih) superprevodnikov**
 - temperatura prehoda, energijska vrzel itd.
 - izvor in mikroskopski popis
- 3. Novi materiali in njihovo razumevanje**
- 4. Fenomenološka teorija in makroskopske lastnosti SP**
- 5. Uporaba**

Superprevodnost : čudo fizike

Superprevodno stanje: **makroskopska realizacija kvantne mehanike**

- valovna funkcija, interferenca na makroskopski razdaljah
- gibanje brez upora

Osnovne lastnosti SP stanja:

- idealna prevodnost, permanentni tokovi
- Meissnerjev efekt, izrivanje magnetnega polja
- obstoj energijske vrzeli $\Delta(T < T_c) > 0$,

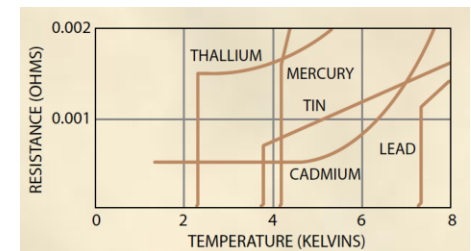
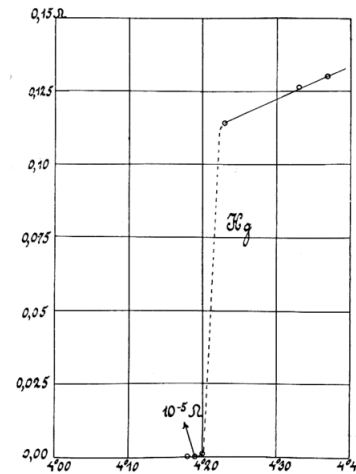
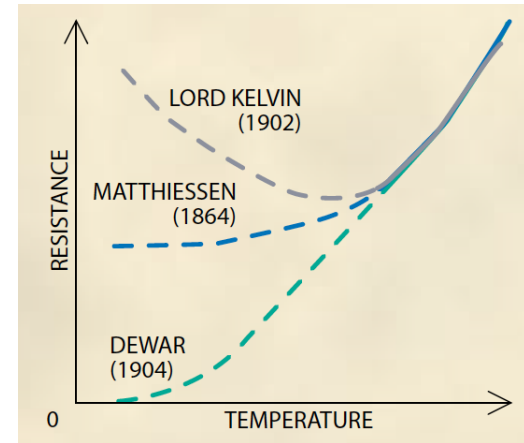
SP kolektivno stanje vezanih parov elektronov (Cooperjevih) parov

- makroskopska interferenca - efekti Josephsona

Nobelove nagrade za SP: (1913), 1972, 1973, 1988, 2003

Odkritje superprevodnosti

Kamerlingh Onnes, Leiden – April 8, 1911



Superprevodnost v periodičnem sistemu elementov

KNOWN SUPERCONDUCTIVE ELEMENTS

■ BLUE = AT AMBIENT PRESSURE
■ GREEN = ONLY UNDER HIGH PRESSURE

1	IA	1	H	2	0	2	He																														
2	IIA	3	Li	4	Be	5	B	6	C	7	N	8	O	9	F	10	Ne																				
3		11	Na	12	Mg	13	Al	14	Si	15	P	16	S	17	Cl	18	Ar																				
4	IIIB	19	K	20	Ca	21	Sc	22	Ti	23	V	24	Cr	25	Mn	26	Fe	27	Co	28	Ni	29	Cu	30	Zn	31	Ga	32	Ge	33	As	34	Se	35	Br	36	Kr
5	IVB	37	Rb	38	Sr	39	Y	40	Zr	41	Nb	42	Mo	43	Tc	44	Ru	45	Rh	46	Pd	47	Ag	48	Cd	49	In	50	Sn	51	Sb	52	Te	53	I	54	Xe
6	VB	55	Cs	56	Ba	57	*La	72	Hf	73	Ta	74	W	75	Re	76	Os	77	Ir	78	Pt	79	Au	80	Hg	81	Tl	82	Pb	83	Bi	84	Po	85	At	86	Rn
7	VIB	87	Fr	88	Ra	89	+Ac	104	Rf	105	Ha	106	106	107	107	108	108	109	109	110	110	111	111	112	112												

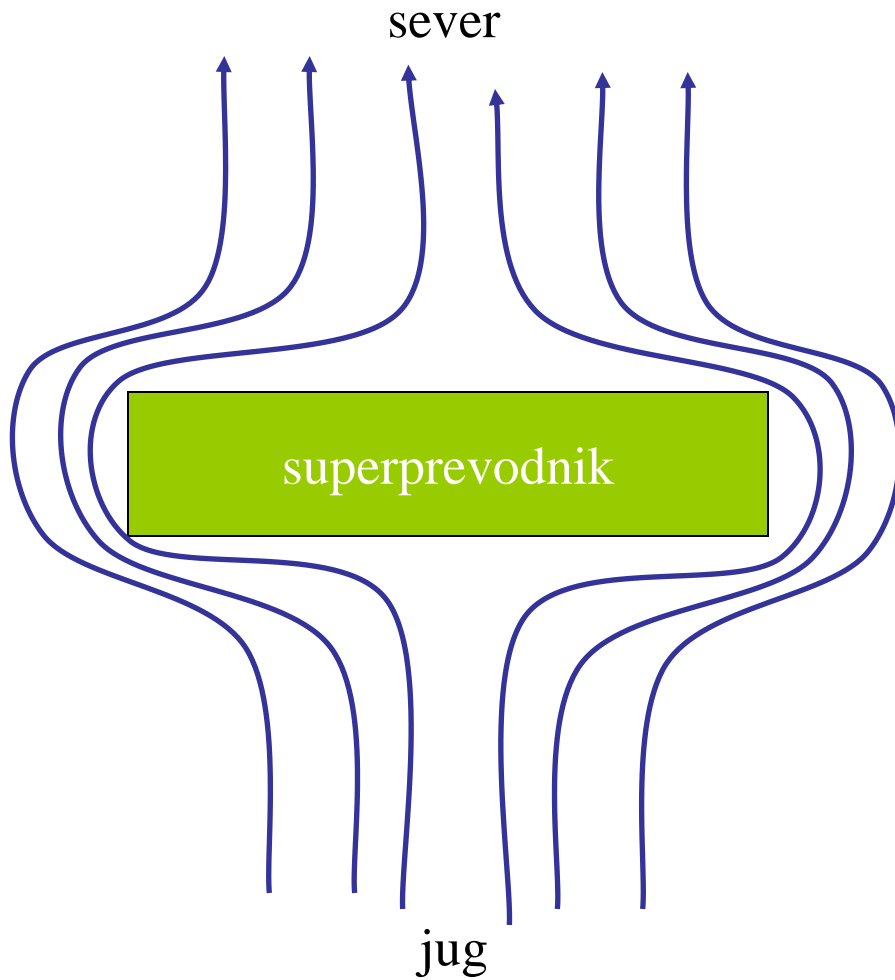
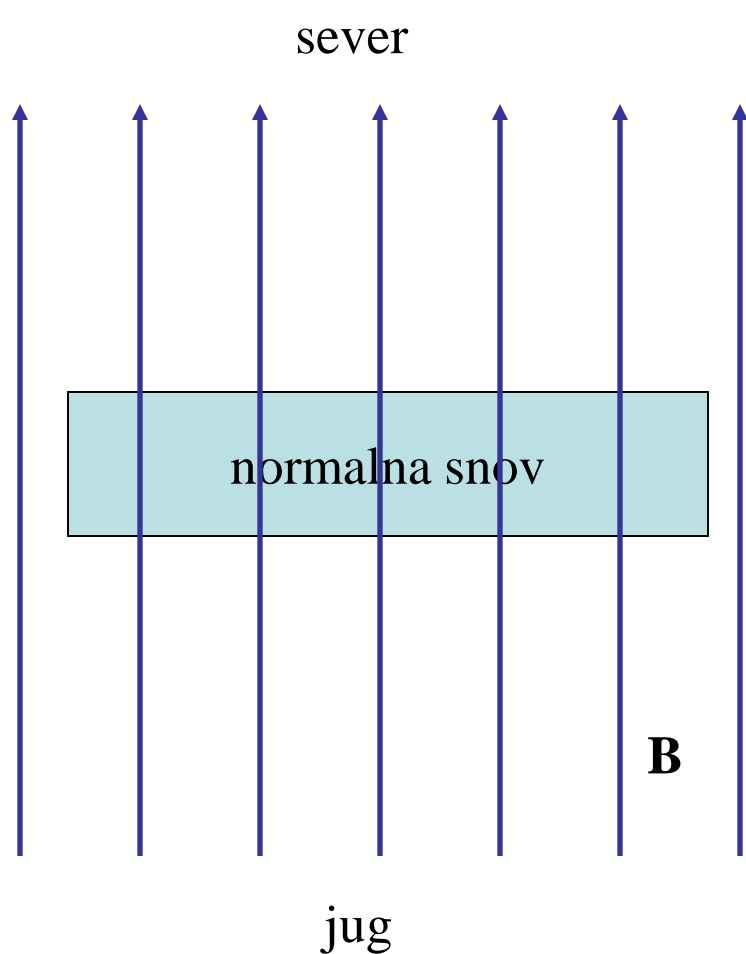
SUPERCONDUCTORS.ORG

* Lanthanide Series	58	59	60	61	62	63	64	65	66	67	68	69	70	71
	Ce	Pr	Nd	Pm	Sm	Eu	Gd	Tb	Dy	Ho	Er	Tm	Yb	Lu
+ Actinide Series	90	91	92	93	94	95	96	97	98	99	100	101	102	103
	Th	Pa	U	Np	Pu	Am	Cm	Bk	Cf	Es	Fm	Md	No	Lr

SP je nizkotemperaturno stanje – faza v mnogih enostavnih **kovinah**
 temperatura prehoda T_c (< 10 K) je zelo nizka
 nizkotemperaturna konkurenca: feromagnetizem, magnetna ureditev..

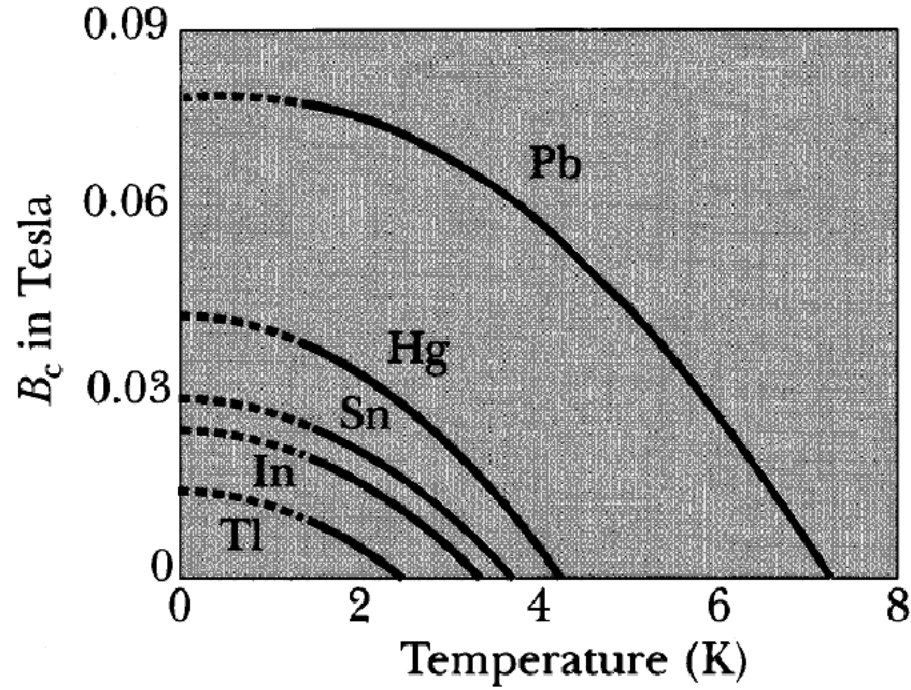
SP: idealni diamagnet

Meissner - Ochsenfeld 1933: (popolno) izrinjeno magnetno polje - SP I. vrste



Kritično magnetno polje: SP I. vrste

$$B_c(T) \cong B_c(0)[1-(T/T_c)^2]$$

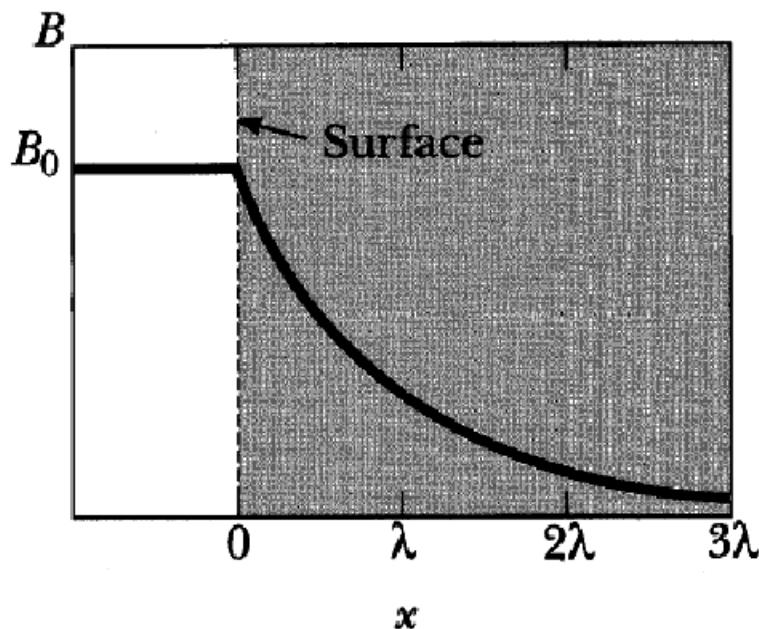


Enačbe Londonov

Fritz in Heinz London: 1935 - idealna prevodnost + Meissnerjev efekt

$$m \frac{d\vec{v}_s}{dt} = -e_0 \vec{E} \implies \frac{d\vec{j}_s}{dt} = \frac{n_s e_0^2}{m} \vec{E} \quad \nabla \times \vec{E} = -\frac{\partial \vec{B}}{\partial t}$$

$$\implies \frac{\partial}{\partial t} \left(\nabla \times \vec{j}_s + \frac{n_s e_0^2}{m} \vec{B} \right) = 0 \quad \boxed{\nabla^2 \vec{B} = \frac{1}{\lambda^2} \vec{B}}$$



$$\lambda = \sqrt{\frac{m}{n_s \mu_0 e_0^2}} \quad \text{vdorna globina}$$

$$B(x) = B_0 e^{-x/\lambda}$$

Izotopski efekt

$$T_c \sim M^{-\alpha}$$

Substance	α
<i>Zn</i>	0.45
<i>Hg</i>	0.50
<i>Pb</i>	0.49
<i>Nb₃Sn</i>	0.08
<i>BCS theory</i>	1/2

BCS teorija

John Bardeen Leon Cooper Robert Schrieffer - Nobel 1972

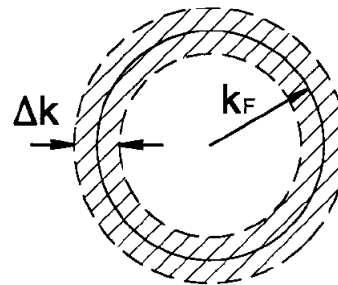
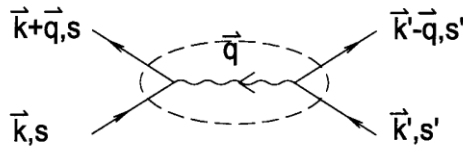


Theory of Superconductivity*

J. BARDEEN, L. N. COOPER,† AND J. R. SCHRIEFFER‡
Department of Physics, University of Illinois, Urbana, Illinois
(Received July 8, 1957)

Cooperjevi pari: privlačna interakcija med elektroni (blizu v energiji)

Standardni SP: posrednik mrežna nihanja



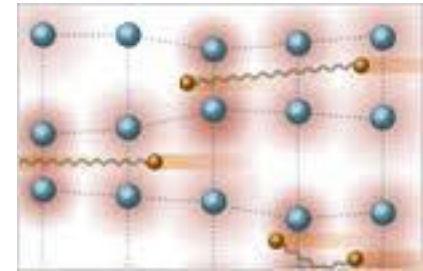
Fermijeva krogl

kako se izogniti Coulombskemu odboju ? retardacija bistvena !

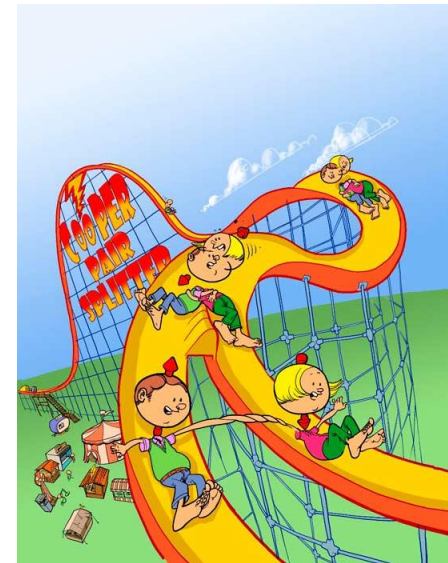
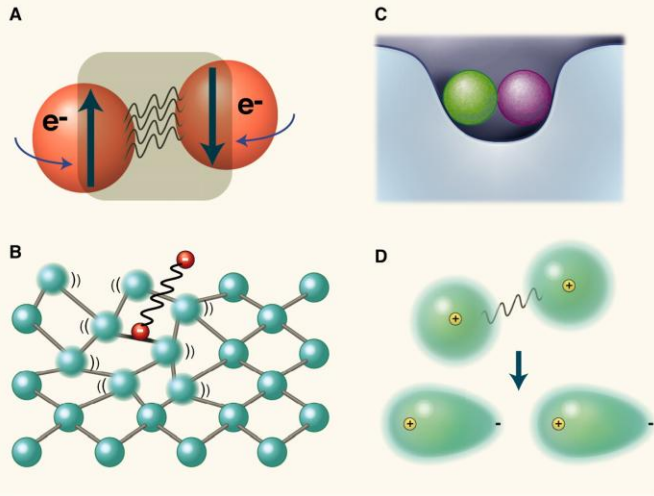
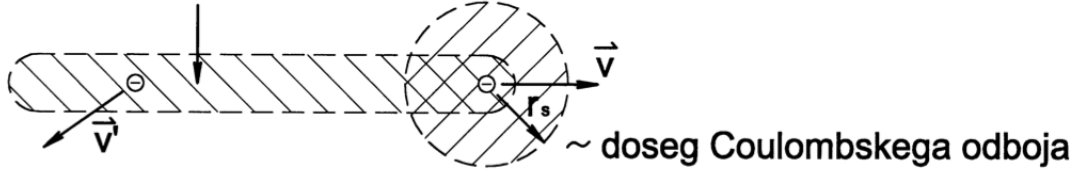
Cooperjevi pari

Standardni SP: par k , spin \uparrow in $-k$, spin \downarrow

privlačna interakcija: posrednik fononi



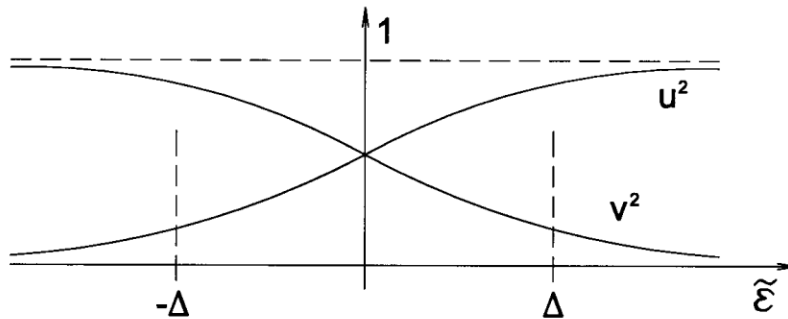
deformirana mreža



b) SP osnovno stanje - kolektivno stanje (vezanih) Cooperjevih parov

$$\Psi_{BCS}^0 = \prod_{\vec{k}} (u_{\vec{k}} + v_{\vec{k}} b_{\vec{k}}^+) |\emptyset\rangle \quad \text{BCS valovna funkcija}$$

$$b_{\vec{k}}^+ = c_{-\vec{k}\downarrow}^+ c_{\vec{k}\uparrow}^+ \quad \langle b_{\vec{k}}^+ \rangle = u_{\vec{k}} v_{\vec{k}} = \frac{1}{2} \sin \vartheta_{\vec{k}} = \frac{\Delta}{2E_{\vec{k}}}$$

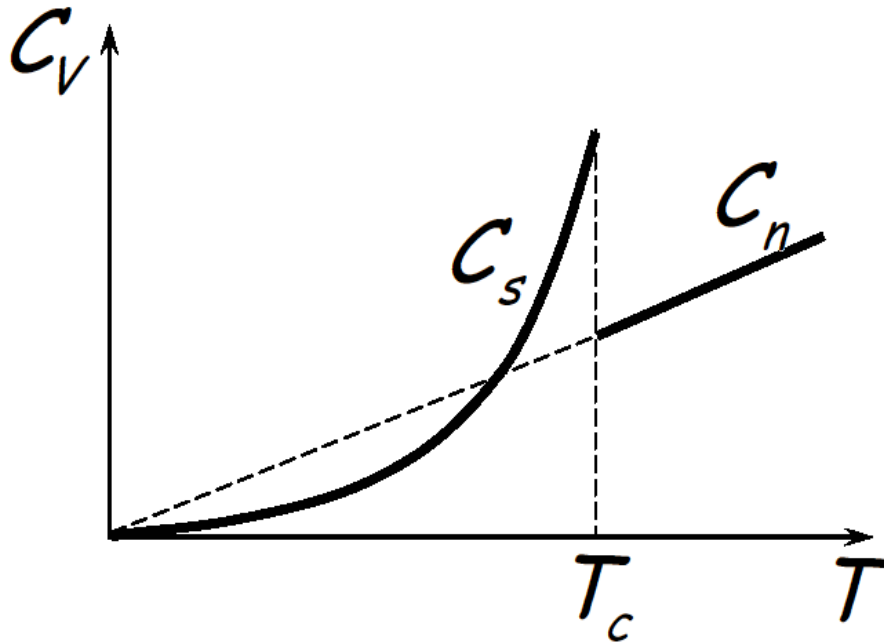


$$E_{\vec{k}} = \sqrt{\tilde{\epsilon}_{\vec{k}}^2 + \Delta^2}$$

energijska vrzel Δ – gap
s wave pairing

$$2\Delta(0) \simeq 3.5k_B T_c$$

Specifična toplota ima skok (prehod II. reda)



$$C_n(T) = \gamma T$$

$$C_s(T) = AT^{-3/2} e^{-\Delta_0 / k_B T}$$

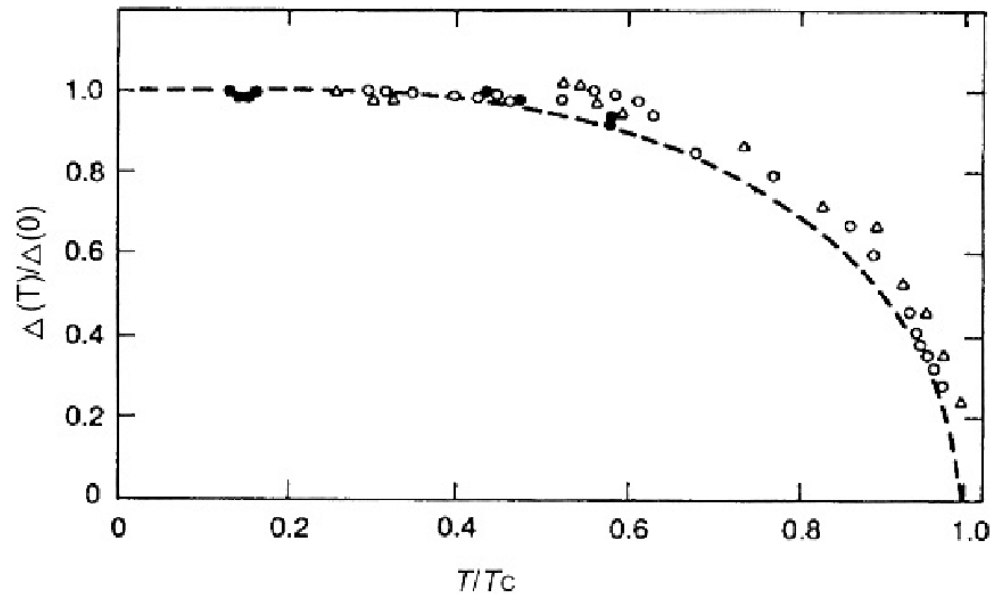
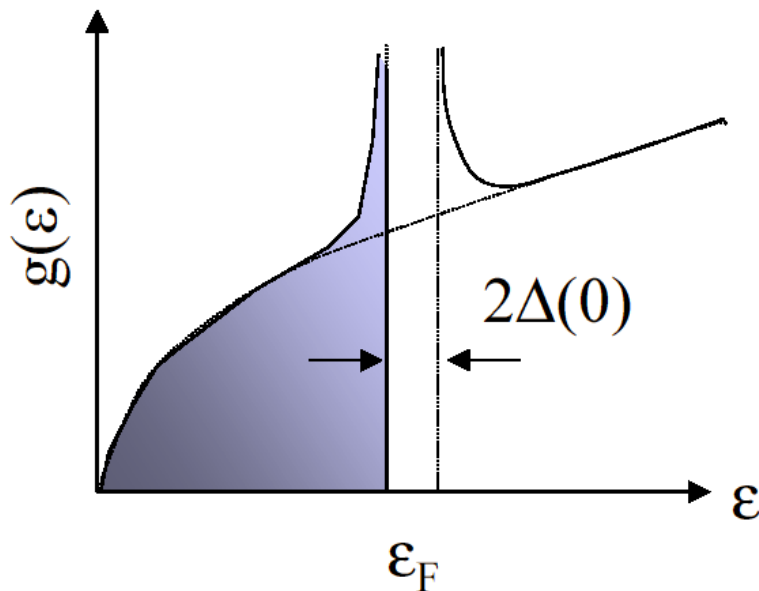
vrzel

$$\left. \frac{C_{es} - \gamma T_c}{\gamma T_c} \right|_{T_c} = 1.52$$

BCS relacija –
 ekperimentalno velja za standardne SP

Energijska vrzel - gap

gostota energijskih stanj elektronov



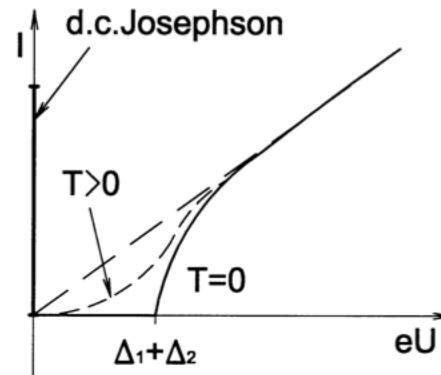
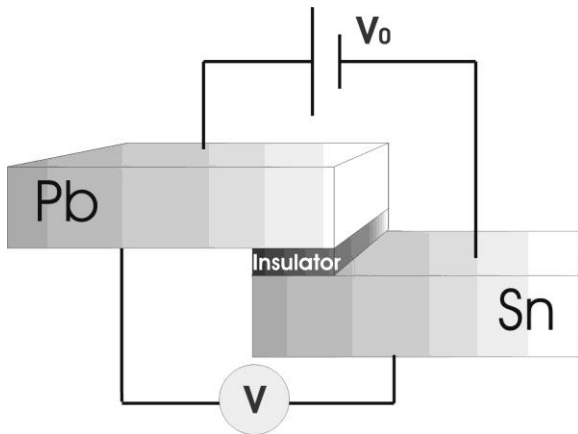
gap merljiv z absorpcijskimi eksperimenti – EM valovanje, ultrazvok

$h\nu < \Delta$ - ni absorpcije

Makroskopska interferenca - Josephsonovi efekti 1962

Nobel 1973: Ivar Giaever, Leo Esaki, Brian Josephson

B. Josephson: "for his theoretical predictions of the properties of a supercurrent through a tunnel barrier, in particular those phenomena which are generally known as the Josephson effects"

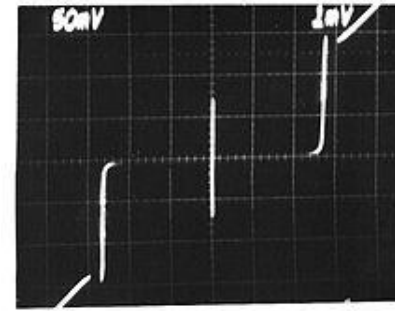


SIS junction



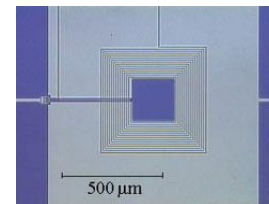
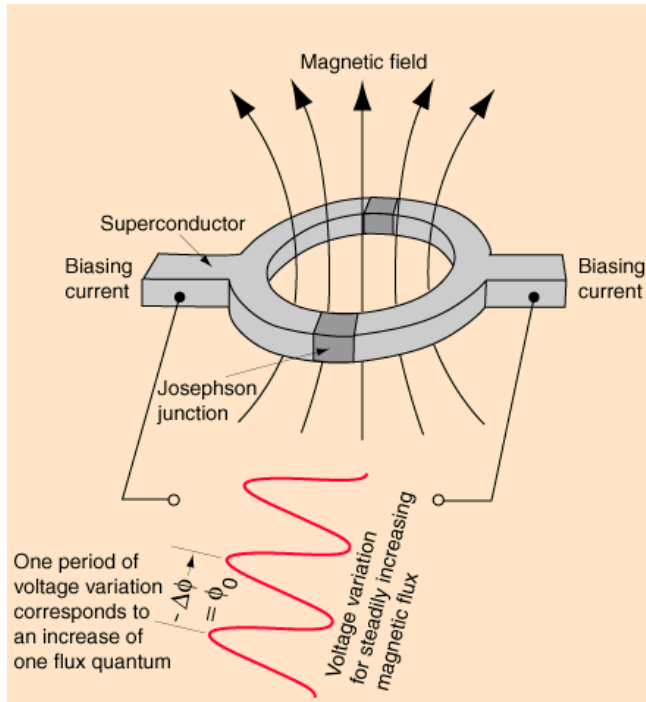
a.c. Josephson efekt

$$I = I_0 \sin \omega_0 t, \quad \omega_0 = \frac{2e_0}{\hbar} U$$



SQUID: superconducting quantum interference device

$$\Phi_0 = \frac{h}{2e_0} = 2,0678 \cdot 10^{-15} Tm^2$$



SQUID

magnetometer

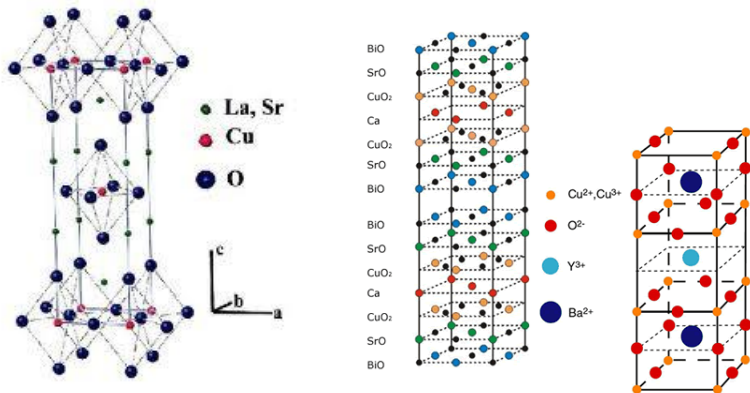


HTC – visokotemperaturna superprevodnost

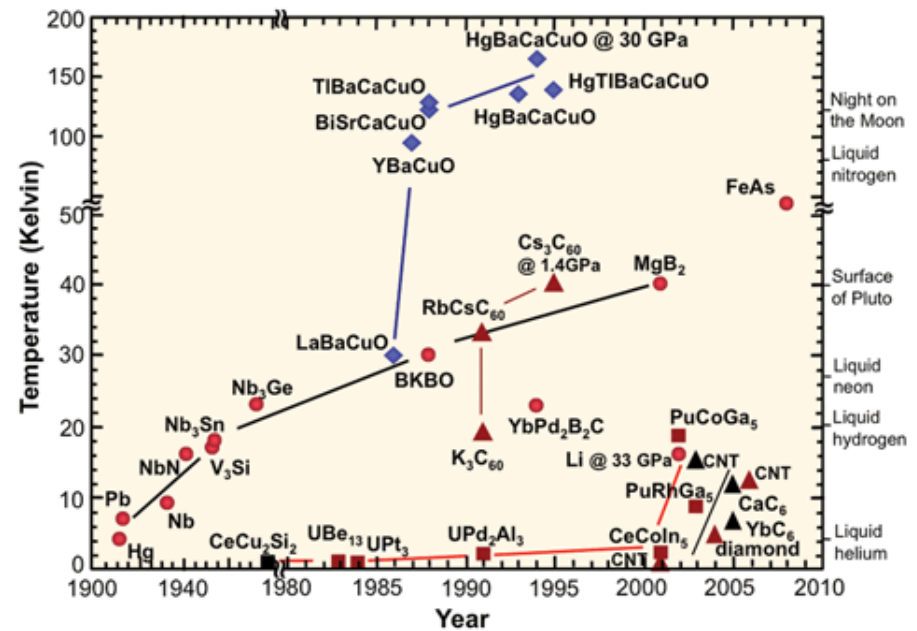


G. Bednorz and K.A. Mueller 1986

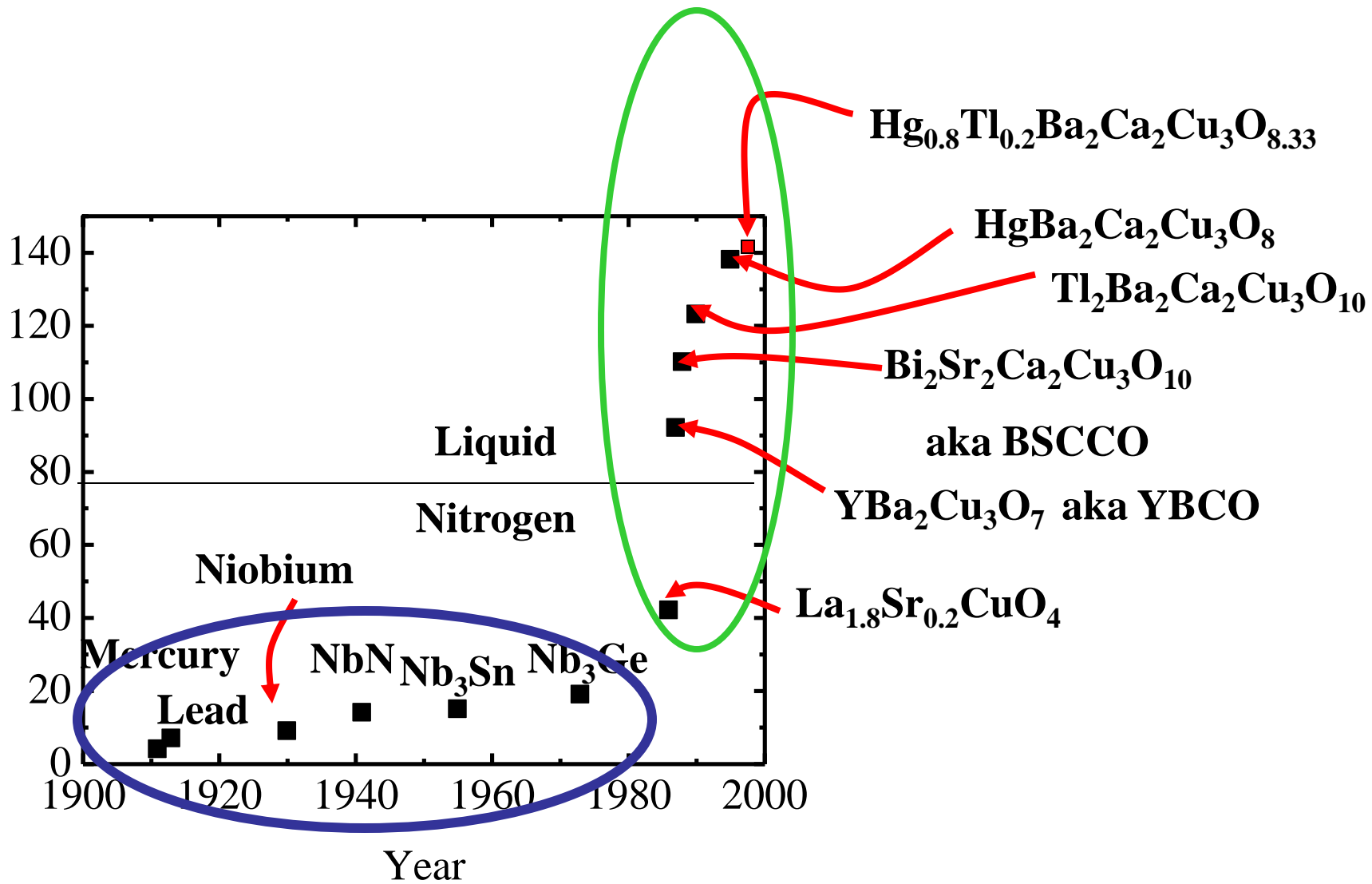
25 let



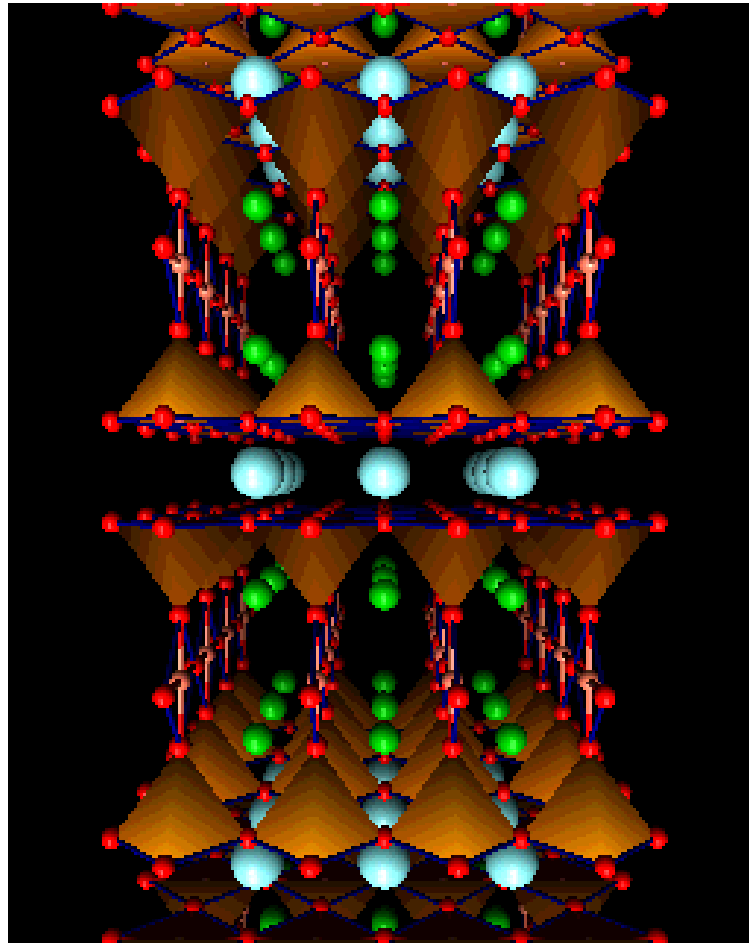
LaSrCuO BiSrCaCuO YBaCuO



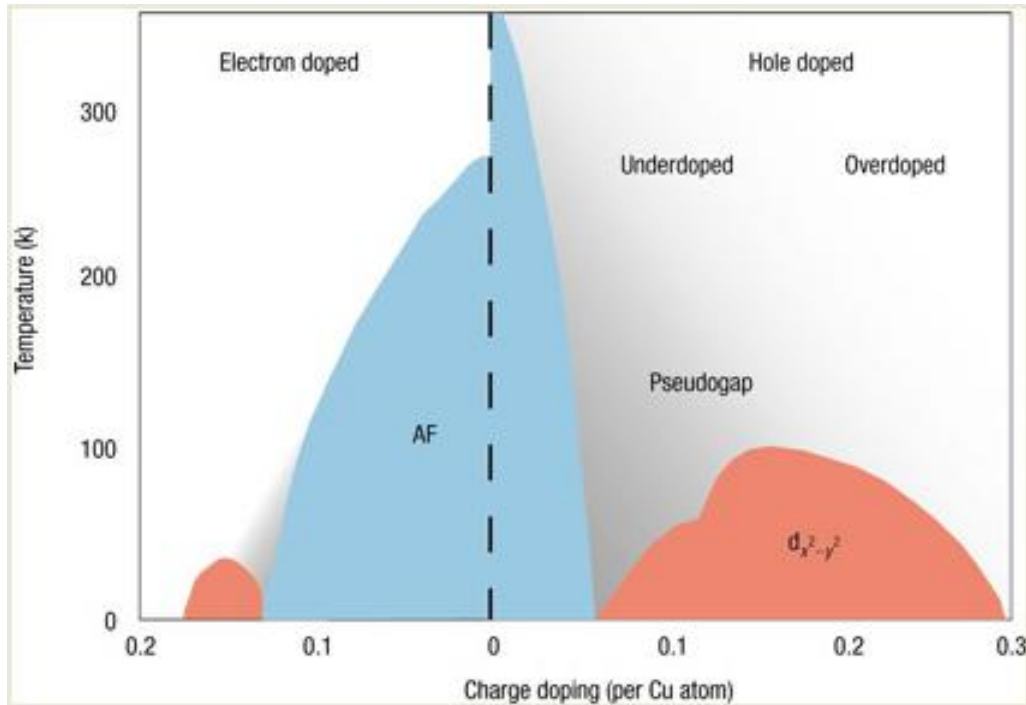
Highest critical temperature (Kelvin)



Ravnine CuO



Kuprati – fazni diagram



nedopirani kuprati:

Mottovi izolatorji,
antiferomagneti

dopirani kuprati: dopirani Mottovi izolatorji

nekonvencionalna (d-wave) SP, mehanizem – spinske fluktuacije, AFM magnoni

anomalne lastnosti v N stanju, non-Fermi liquid, **energijska pseudovrzel**

Mikroskopski kvantni model: kuprati

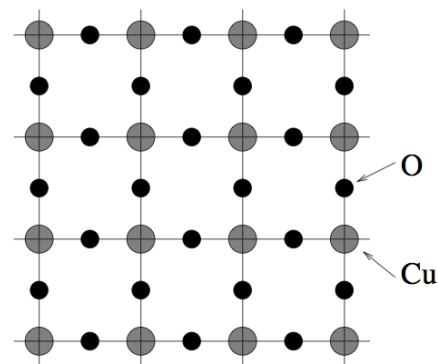
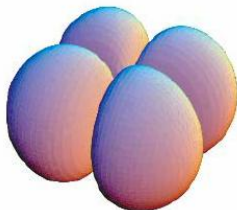
preskakovanje elektronov med mesti (kovina) +

močan Coulombski odboj med elektroni **močne korelacije: $U \gg t$**

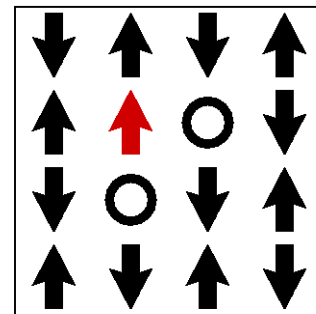
nedopiran sistem = 1 elektron (vrzel) = Mottov izolator

Cu: d orbitala x^2-y^2

1 orbitala / osnovno celico



2D kvadratna mreža



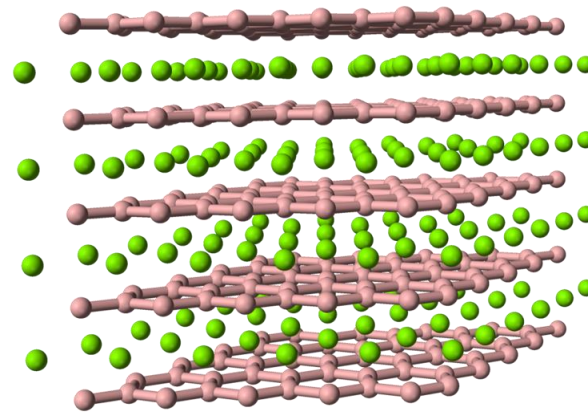
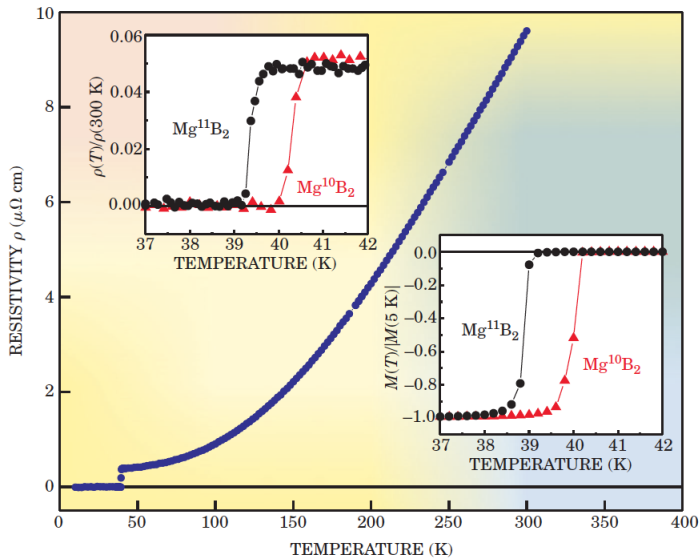
Intermezzo – Mg B₂



Jun Akimitsu: 2001

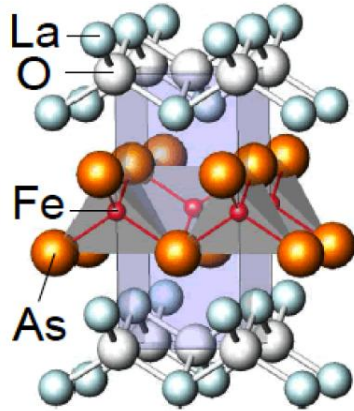
better late than never

standardni s – tip SP: fononski mehanizem



Pniktidi – spojine železa

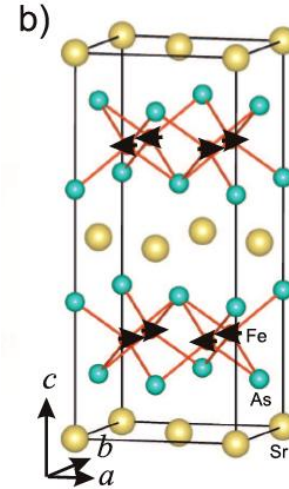
1111 družina



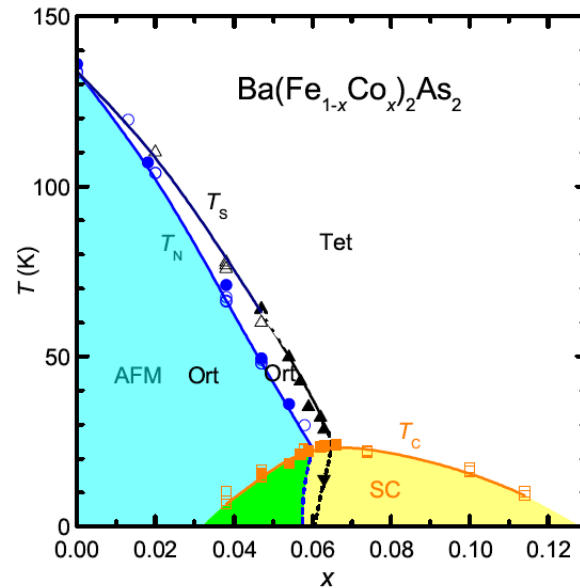
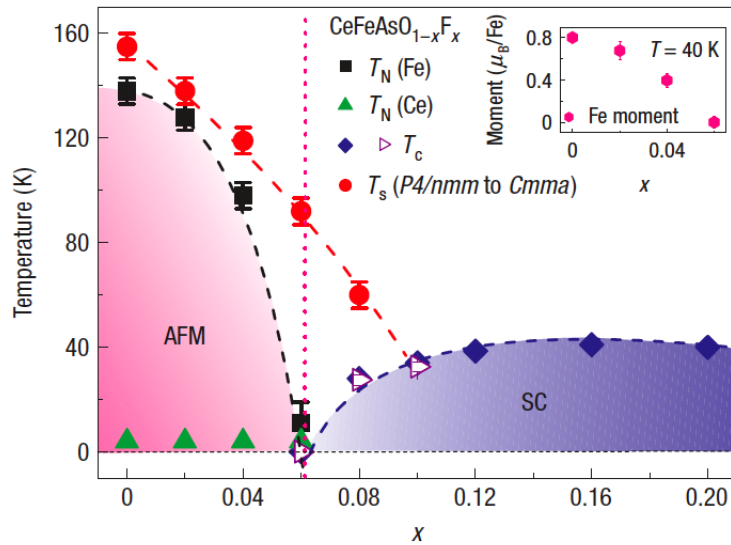
Kamihara, Hosono et al. (08)



122 družina



pnictogen: skupina 5 – N, P, As, Sb



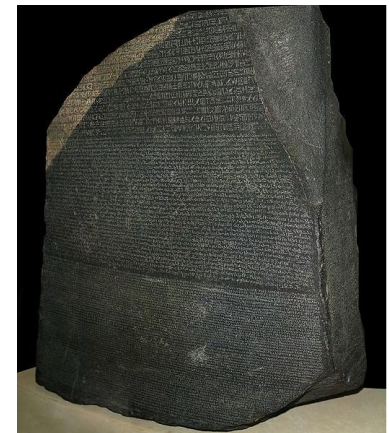
Visoko (nizko) – temperaturni SP

Transition temperatures of well-known superconductors (Boiling point of liquid nitrogen for comparison)

Transition temperature (in kelvins)	Material	Class
133	HgBa ₂ Ca ₂ Cu ₃ O _x	Copper-oxide superconductors
110	Bi ₂ Sr ₂ Ca ₂ Cu ₃ O ₁₀ (BSCCO)	
90	YBa ₂ Cu ₃ O ₇ (YBCO)	
77	Boiling point of liquid nitrogen	
55	SmFeAs(O,F)	Iron-based superconductors
41	CeFeAs(O,F)	
26	LaFeAs(O,F)	
20	Boiling point of liquid hydrogen	
18	Nb ₃ Sn	Metallic low-temperature superconductors
10	NbTi	
9.2	Nb	
4.2	Hg (mercury)	

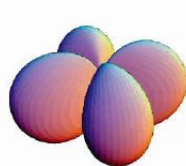
Železovi pniktidi: kuprati

- podobnosti: fazni diagram, magnetne lastnosti
nekonvencionalna SP, transportne lastnosti – NFL
- razlike: mikroskopski model – več pasov, več orbital
- **Rosetta plošča za razumevanje HTC ?**



Železovi pniktidi: mikroskopsko modeliranje

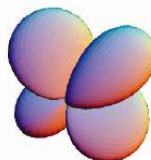
Fe d orbitale



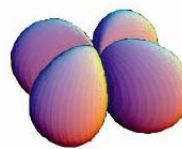
d_{xy}



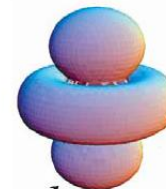
d_{zx}



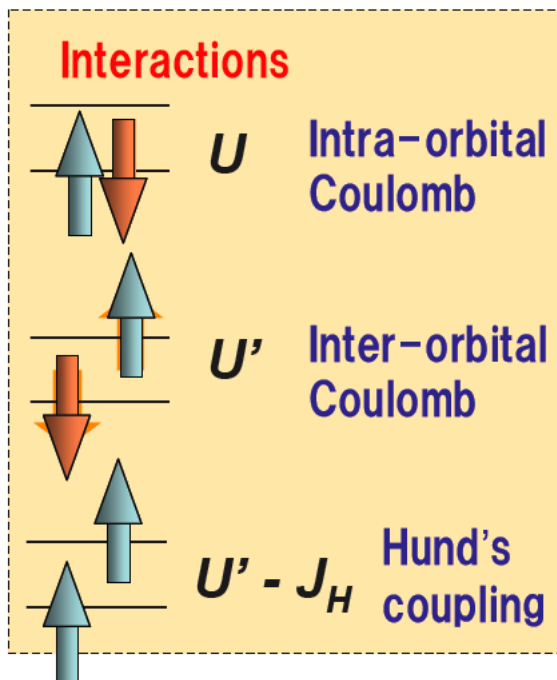
d_{yz}



$d_{x^2-y^2}$



$d_{3z^2-r^2}$



večorbitalni Hubbardov model

Pniktidi: globalna fizika – novi igralci

Electronic Structure of the BaFe_2As_2 Family of Iron Pnictides

M. Yi,^{1,2} D. H. Lu,^{1,2} J. G. Analytis,³ J.-H. Chu,³ S.-K. Mo,^{2,4} R.-H. He,^{1,2} X. J. Zhou,⁵ G. F. Chen,⁵ J. L. Luo,⁵ N. L. Wang,⁵ Z. Hussain,⁴ D. J. Singh,⁶ I. R. Fisher,³ and Z.-X. Shen^{1,2,*}

Low Energy Spin Waves and Magnetic Interactions in SrFe_2As_2

Jun Zhao,¹ Dao-Xin Yao,² Shiliang Li,¹ Tao Hong,³ Y. Chen,⁴ S. Chang,⁴ W. Ratcliff II,⁴ J. W. Lynn,⁴ H. A. Mook,³ G. F. Chen,⁵ J. L. Luo,⁵ N. L. Wang,⁵ E. W. Carlson,² Jiangping Hu,² and Pengcheng Dai^{1,3,*}

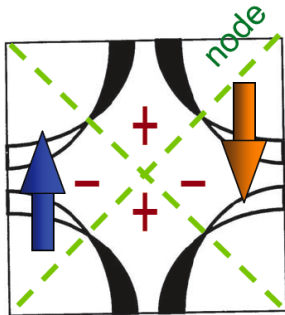
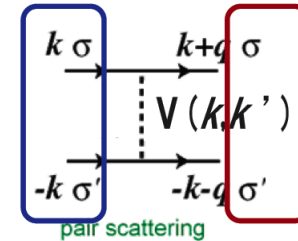
Spin waves and magnetic exchange interactions in CaFe_2As_2

Jun Zhao¹, D. T. Adroja², Dao-Xin Yao³, R. Bewley², Shiliang Li^{1,4}, X. F. Wang⁵, G. Wu⁵, X. H. Chen⁵, Jiangping Hu³ and Pengcheng Dai^{1,4,6*}

Superprevodnost samo iz odbojnih interakcij ?

odboj – anizotropna SP: BCS gap enačba

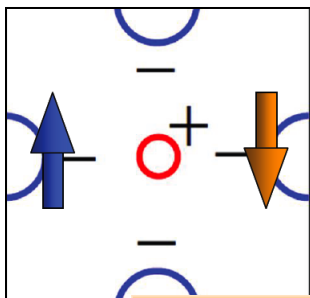
$$\Delta(\mathbf{k}) = - \sum_{\mathbf{k}'} V(\mathbf{k}, \mathbf{k}') \frac{\Delta(\mathbf{k}')}{2E(\mathbf{k}')} \tanh \left(\frac{1}{2} \beta E(\mathbf{k}') \right)$$



privlak, če Δ menja znak – **d wave**

← **kuprati:**

zakaj T_c tako visok (nizek) ? $T_c \sim \omega_D \sim J \sim 0.1 t$



← **Fe pniktidi - s+- tip**

What do we expect from theory ?

Trivial: If an elegant theory agrees with experiment, there is nothing to worry about.

Heisenberg: If an elegant theory does not agree with experiment, the experiment is wrong.

Bohr (compromise): If an elegant theory disagrees with experiment, the case is not lost, since by improving theory one can make it agree with experiment.

Dirac: If an inelegant theory agrees with experiment, the case is hopeless.

Fenomenološka teorija superprevodnikov in supertekočin

Aleksej Abrikosov,

Vitalij Ginzburg

in Anthony Leggett

for pioneering contribution to
the theory of superconductors
and superfluids



The Nobel Prize in Physics 2003

"for pioneering contributions to the theory of superconductors and superfluids"



**Alexei A.
Abrikosov**

🏆 1/3 of the prize
USA and Russia

Argonne National
Laboratory
Argonne, IL, USA
b. 1928



**Vitaly L.
Ginzburg**

🏆 1/3 of the prize
Russia

P.N. Lebedev
Physical Institute
Moscow, Russia
b. 1916



**Anthony J.
Leggett**

🏆 1/3 of the prize
United Kingdom
and USA

University of Illinois
Urbana, IL, USA
b. 1938



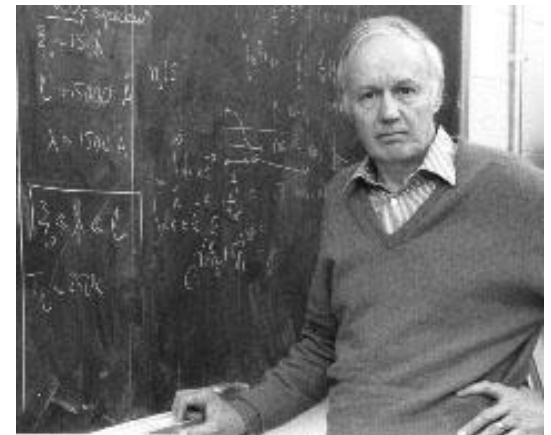
L. Landau (v zaporu)



L. Gorkov, A. Abrikosov, I. Dzialoshinski



V. Ginzburg



A. Leggett

Predhodnica

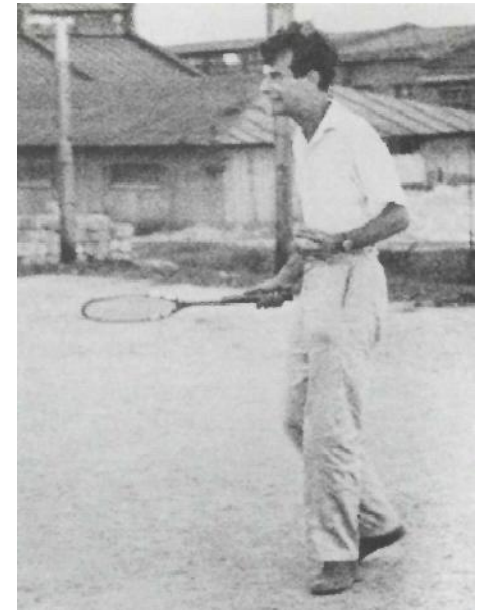
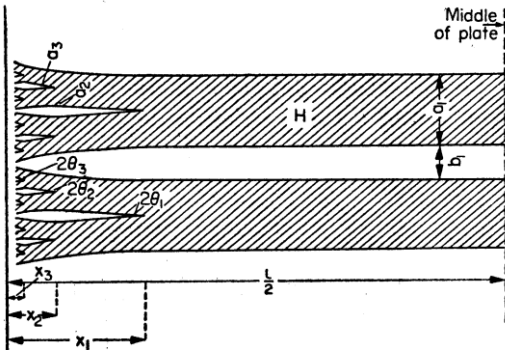
F. in H. London (1935): Idealna prevodnost + Meissnerjev efekt

$$\nabla^2 \mathbf{B} = \frac{1}{\lambda_L^2} \mathbf{B}$$

vdorna globina $\rightarrow \lambda_L^2 = \frac{m}{\mu_0 e^2 n_s}$ \leftarrow gostota SP elektronov

L. Landau (1937, 1943) : teorija mešanega SP stanja

v prisotnosti magn. polja



L. Landau (1937): fenomenoška teorija zveznih faznih prehodov

ureditveni parameter

razvoj proste energije po UP

Fenomenološka teorija SP Ginzburga in Landaua (1950)

ureditveni parameter **kompleksen** $\Psi(\vec{r})$ efektivna v.f. SP elektronov

$|\Psi|^2 = n_s$ gostota SP elektronov

$$f = f_0 + \alpha|\Psi|^2 + \frac{\beta}{2}|\Psi|^4 + \frac{1}{2m^*}|(-i\hbar\nabla - e^*\vec{A})\Psi|^2 + \frac{1}{2\mu_0}B^2$$

$$\alpha = \alpha_0(T - T_c)$$

prispevek magn.polja

GL $e^* = e_0$: ‘charge, which there is no reason to consider as different from the electronic charge’

Bardeen, Cooper, Schrieffer (57) $e^* = 2e_0$: Cooperjevi pari

GL enačbe

$$F = \int dV f(\Psi, \vec{A}) = \min$$

celotna prosta energija je minimalna
pogoj za magn. polje B (A) in v.f. Ψ

$$\alpha\Psi + \beta|\Psi|^2\Psi + \frac{1}{2m^*}(i\hbar\nabla + e^*\vec{A})^2\Psi = 0$$

$$\frac{1}{\mu_0}\nabla \times \vec{B} \equiv \vec{j} = \frac{e^*\hbar}{2m^*i}[\Psi^*\nabla\Psi - \Psi\nabla\Psi^*] - \frac{e^{*2}}{m^*}|\Psi|^2\vec{A}$$

vklučuje enačbe Londonov

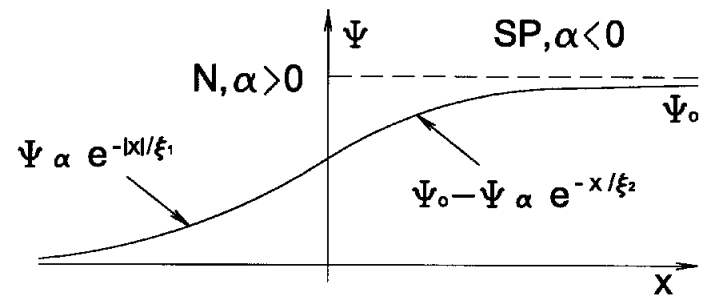
Značaj ureditvenega parametra

$\Psi = |\Psi|e^{i\varphi}$ v SP stanju zlomljena zvezna umeritvena (gauge) simetrija
 φ določen

Karakteristične dolžine in parametri

koherenčna dolžina

$$\xi(T) = \sqrt{\frac{\hbar^2}{2m^*|\alpha|}}$$

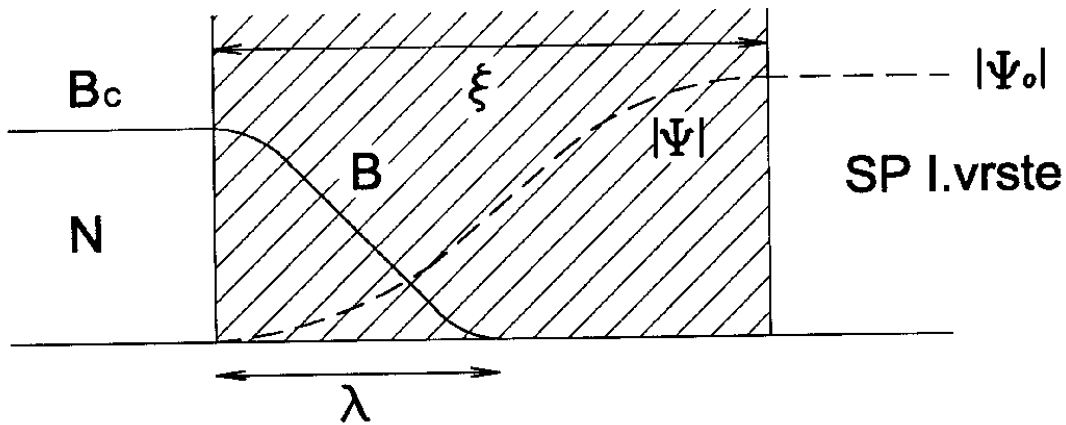


vdorna globina polja

$$\lambda = \sqrt{\frac{m^*}{\mu_0 e^{*2} |\Psi_0|^2}} = \sqrt{\frac{m^* \beta}{\mu_0 e^{*2} |\alpha|}}$$

GL parameter $\kappa = \lambda/\xi$

Energija domenske stene

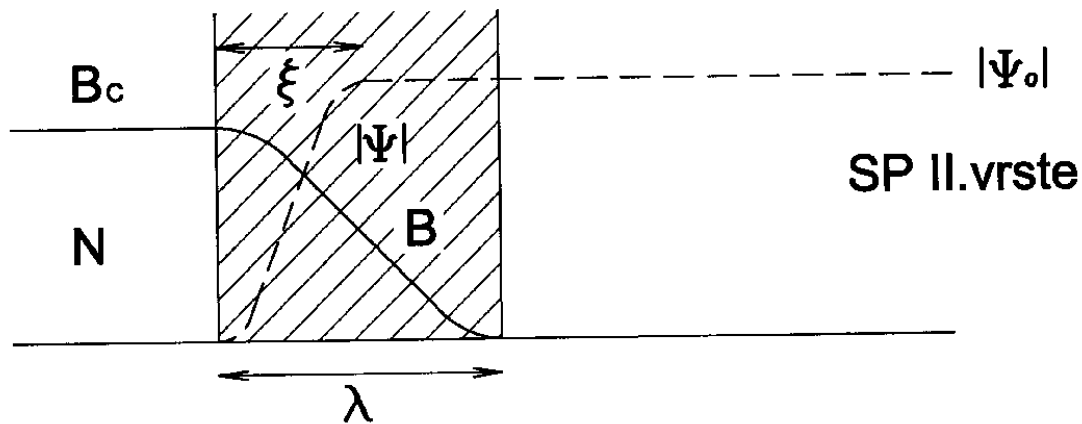


$$\kappa < 1/\sqrt{2}, \delta > 0$$

SP I. vrste:

$B=0$ v notranjosti

popoln Meissnerjev efekt



$$\kappa > 1/\sqrt{2}, \delta < 0$$

SP II. vrste:

$B > 0$ v notranjosti

nepopoln Meissnerjev efekt

GL: $\kappa < 1$: Hg $\kappa \sim 0.16$

$\kappa \gg 1$? 'does not offer any intrinsic interest, we shall not discuss it'

О МАГНИТНЫХ СВОЙСТВАХ СВЕРХПРОВОДНИКОВ ВТОРОЙ ГРУППЫ

А. А. Абрикосов

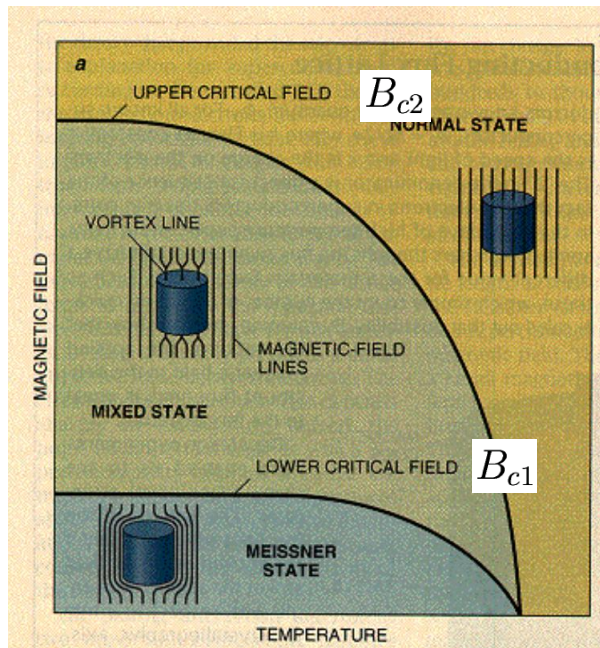
Рассматриваются магнитные свойства массивных сверхпроводников, для которых параметр κ , введенный в теории Гинзбурга и Ландау, больше $1/\sqrt{2}$ (сверхпроводники второй группы). Полученные данные объясняют ряд опытных закономерностей поведения сверхпроводящих сплавов в магнитном поле.

В работе автора [1] уже было отмечено, что из квазимикроскопической теории сверхпроводимости Гинзбурга и Ландау [2] можно сделать вывод о наличии двух групп сверхпроводников. Для сверхпроводников первой группы параметр κ , входящий в теорию Гинзбурга и Ландау, меньше $1/\sqrt{2}$, для сверхпроводников второй группы он больше $1/\sqrt{2}$.

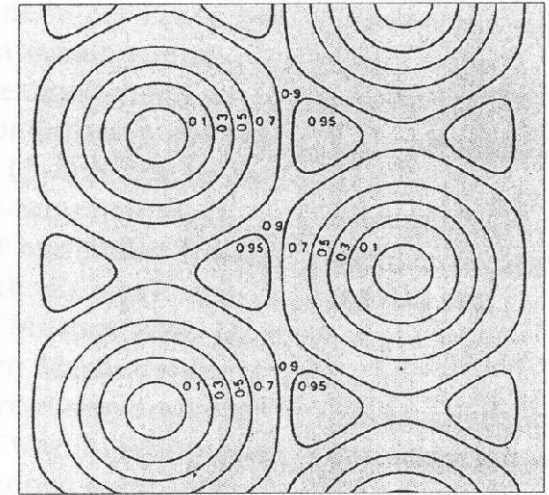
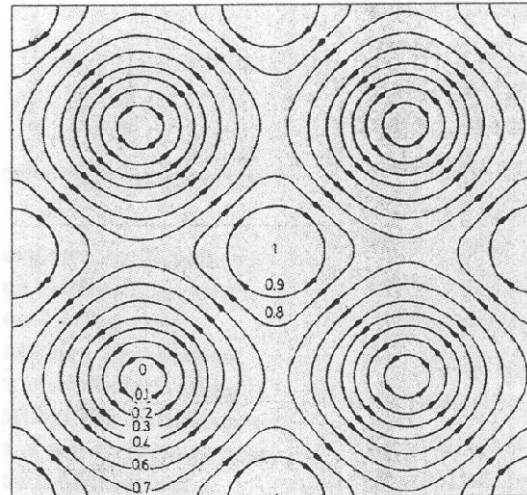
Teorija SP II. vrste:

Abrikosov (1957)

$$\kappa > 1/\sqrt{2}, \delta < 0$$



$$B_{c1} < B < B_{c2}$$



Abrikosov 57: quadratic lattice

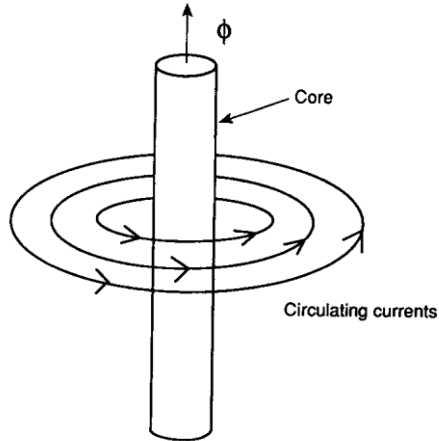
triangular lattice

unstable !

Vrtinčne niti – vortex lines

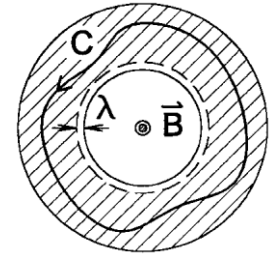
$$B_{c1} < B < B_{c2}$$

$B \sim B_{c1}$
posamezne
vrtinčne niti

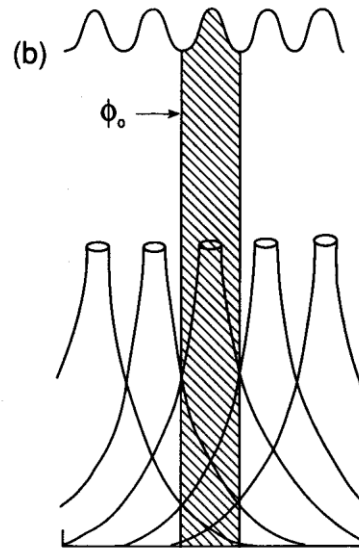
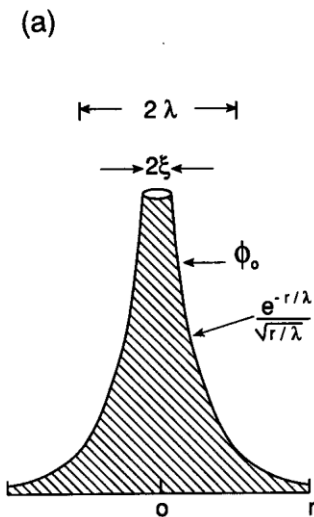


$$\oint_C d\vec{r} \cdot [\hbar \nabla \varphi - e^* \vec{A}] = 0$$

$$\Phi_n = 2\pi n \frac{\hbar}{e^*} = n\Phi_0$$



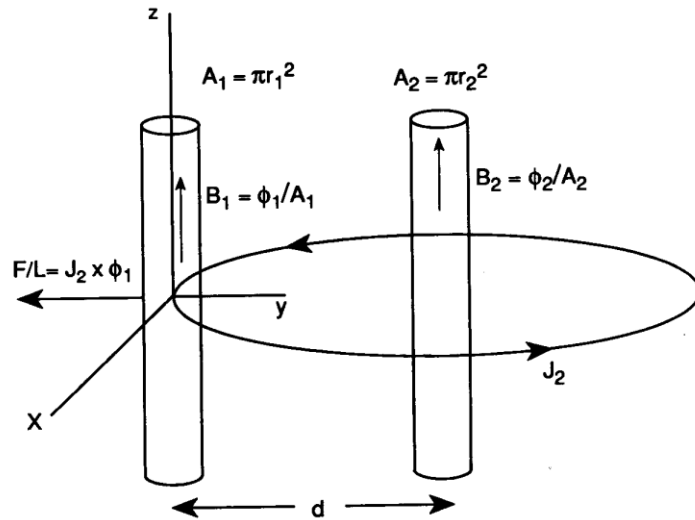
kvantizacija
magn. pretoka



$$B \sim B_{c2}$$

gosta mreža vrtincev

Gibanje vrtincev



$$\mathbf{E} = \mathbf{v}_\phi \times \mathbf{B} \parallel \mathbf{J} \rightarrow \rho > 0$$

gibanje vrtincev povzroča
električni upor $\rho > 0$

**za idealno prevodnost $\rho=0$
potrebno**

pripetje (pinning) vrtincev !

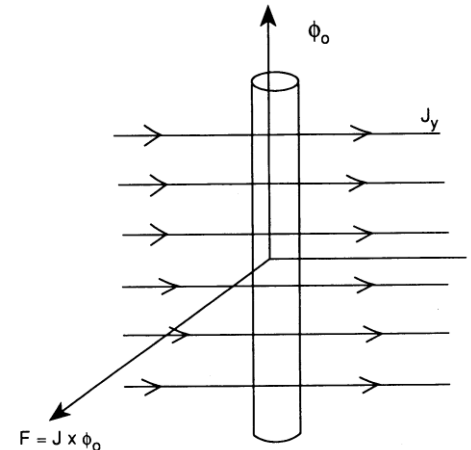
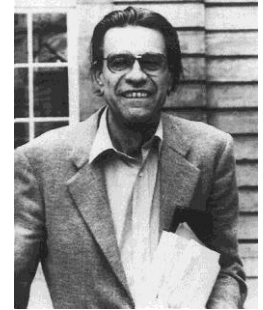
energija dveh vrtincev

de Gennes

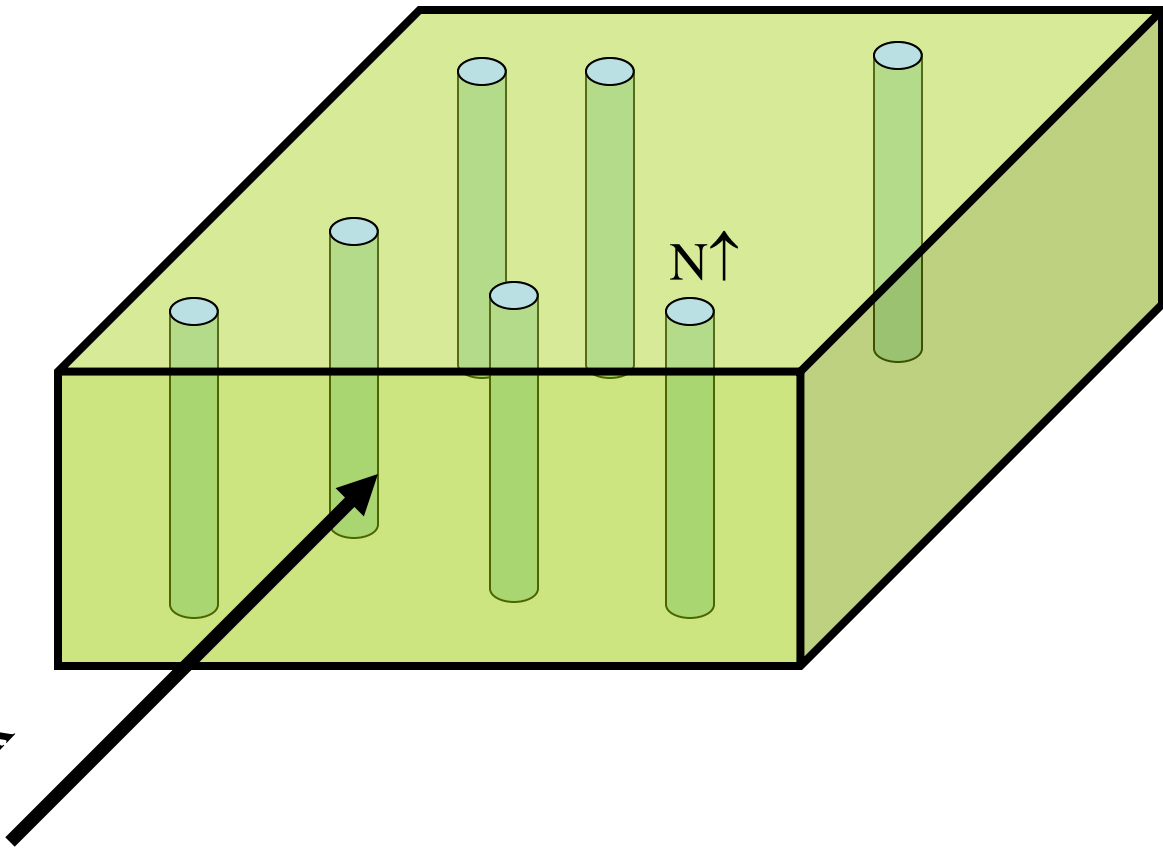
$$\mathbf{F}/L = \mathbf{J} \times \Phi_0$$

sila na vrtinec pri homogenem toku

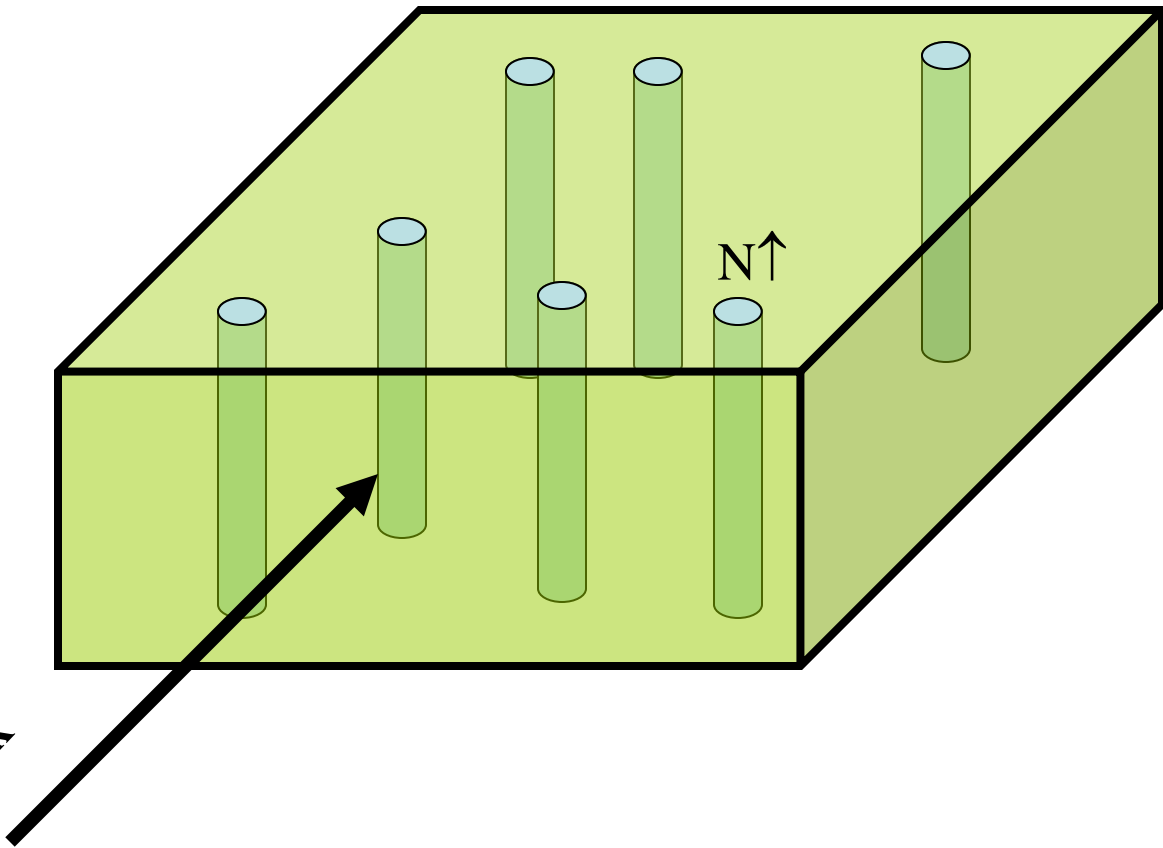
Lorentz



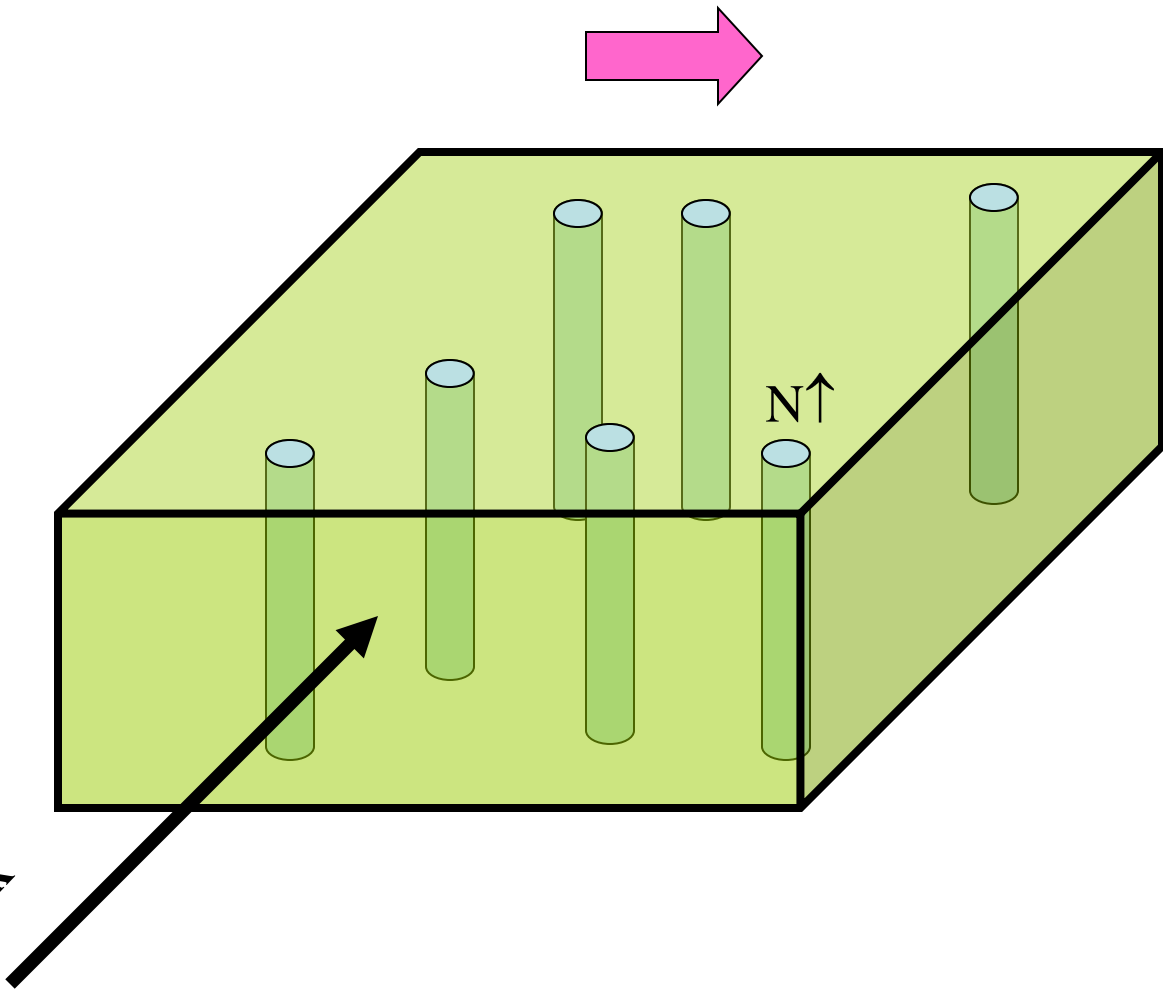
električni tok



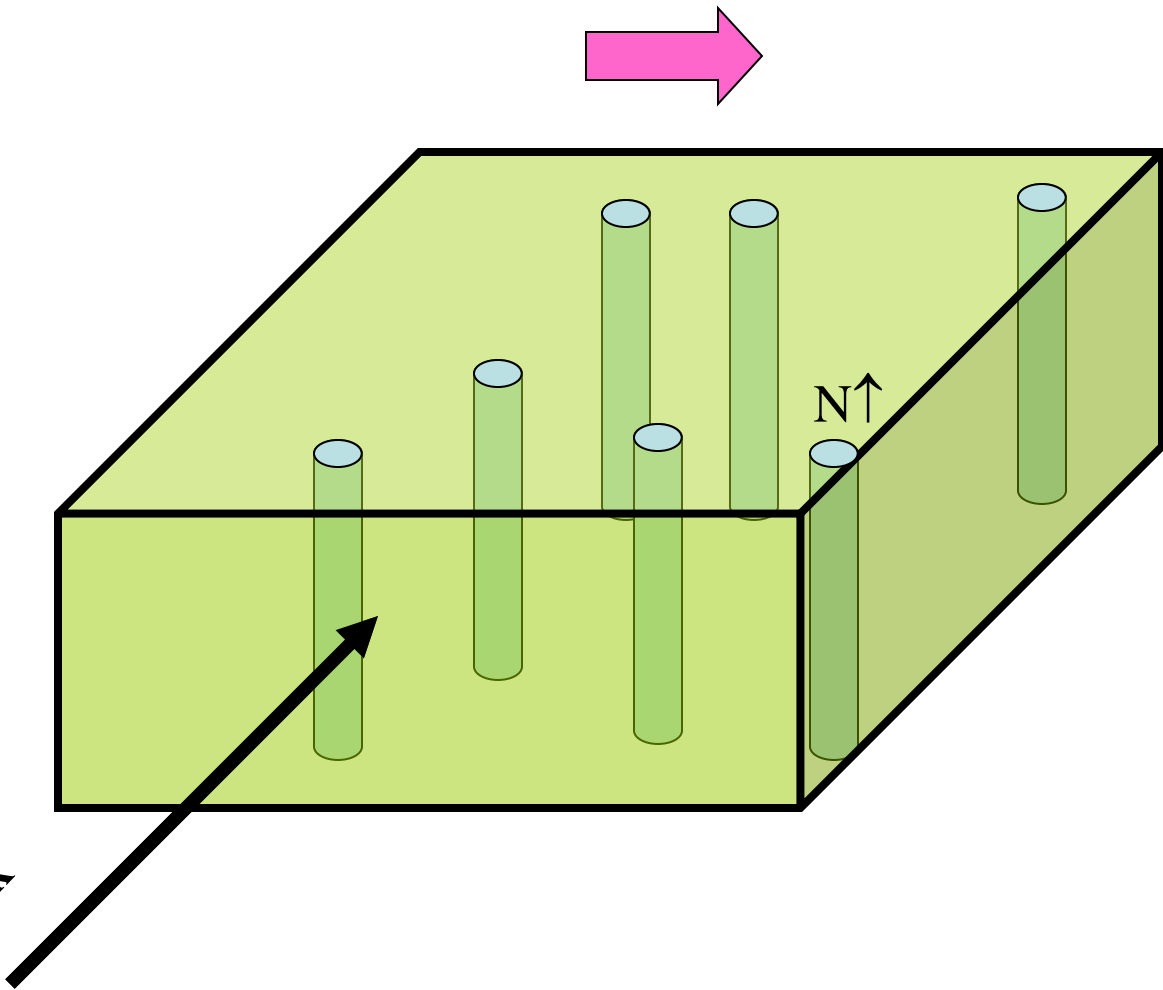
električni tok



električni tok



električni tok



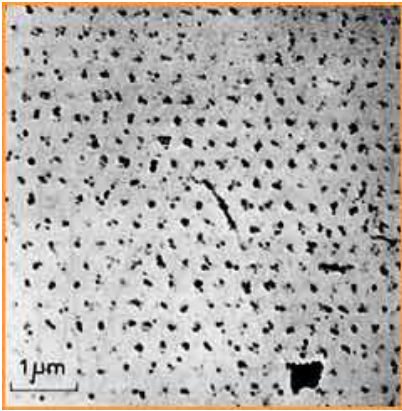
Superprevodne snovi

Table 9.1 Coherence Length ξ , Penetration Depth λ , and Ginzburg–Landau Parameter κ of Various Superconductors^a

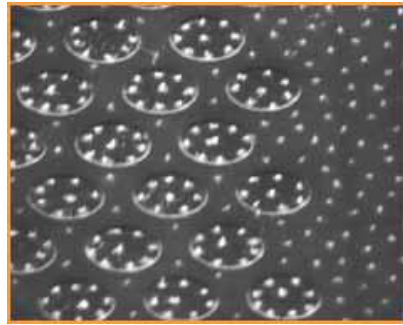
Material	T_c (K)	ξ (nm)	λ (nm)	κ (λ/ξ)	Source
Cd	0.56	760	110	0.14	Meservey and Schwartz (1969)
Al ^a	1.18	550	40	0.03	Table 9.2
In ^a	3.41	360	40	0.11	Table 9.2
Sn ^a	3.72	180	42	0.23	Table 9.2
Ta	4.4	93	35	0.38	Buckel (1991)
Pb ^a	7.20	82	39	0.48	Table 9.2
Nb ^a	9.25	39	50	1.28	Table 9.2
Pb–In	7.0	30	150	5.0	Orlando and Delin (1991)
Pb–Bi	8.3	20	200	10	Orlando and Delin (1991)
Nb–Ti	9.5	4	300	75	Orlando and Delin (1991)
Nb–N	16	5	200	40	Orlando and Delin (1991)
PbMo ₆ S ₈ (Chevrel)	15	2	200	100	Orlando and Delin (1991)
V ₃ Ga (A15)	15	≈ 2.5	90	≈ 35	Orlando and Delin (1991)
V ₃ Si (A15)	16	3	60	20	Orlando and Delin (1991)
Nb ₃ Sn (A15)	18	3	65	22	Orlando and Delin (1991)
Nb ₃ Ge (A15)	23.2	3	90	30	Orlando and Delin (1991)
K ₃ C ₆₀	19	2.6	240	92	Holczer <i>et al.</i> (1991)
Rb ₃ C ₆₀	29.6	2.0	247	124	Sparn <i>et al.</i> (1992)
(La _{0.925} Sr _{0.075}) ₂ CuO ₄ ^b	37	2.0	200	100	Poole <i>et al.</i> (1988)
YBa ₂ Cu ₃ O ₇ ^b	89	1.8	170	95	Poole <i>et al.</i> (1988)
HgBaCaCuO	126	2.3			Gao <i>et al.</i> (1993)
HgBa ₂ Ca ₂ Cu ₃ O _{8+δ}	131			100	Schilling <i>et al.</i> (1994b)

High T_c

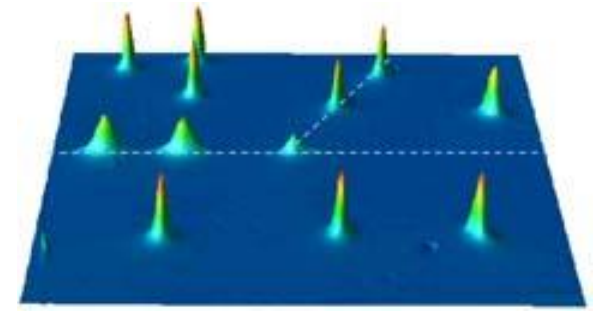
kuprati



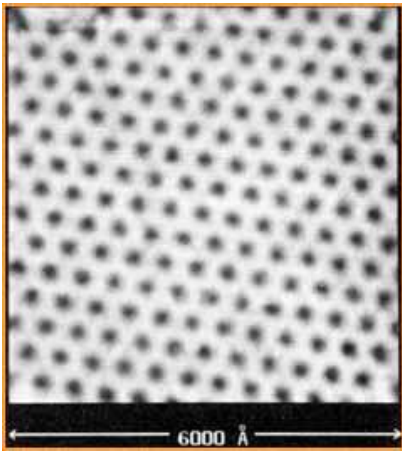
dekoracija - Pb



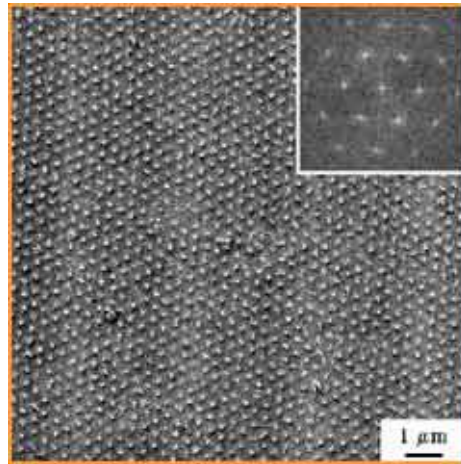
vzorec z luknjami



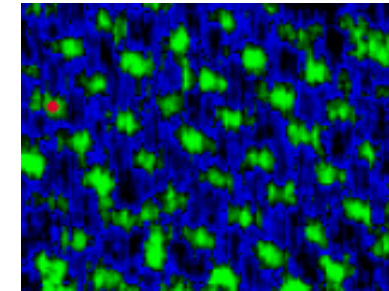
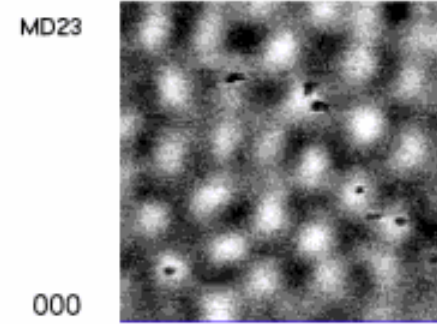
STM – HTC trikristal



STM - NbSe₂

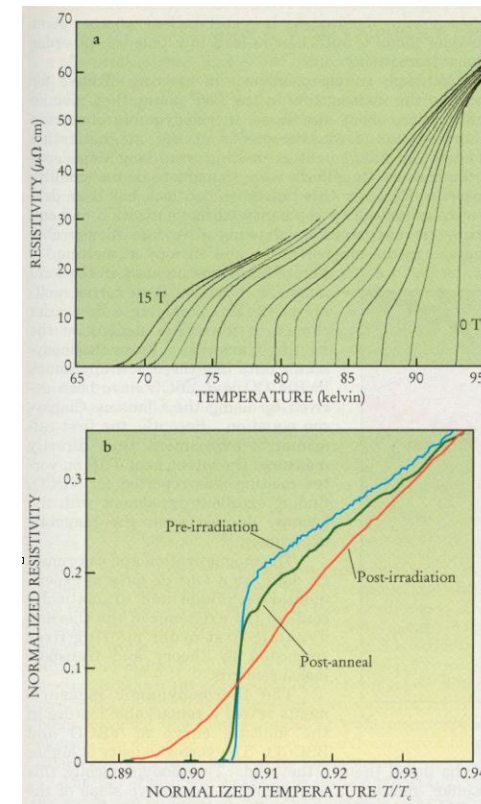
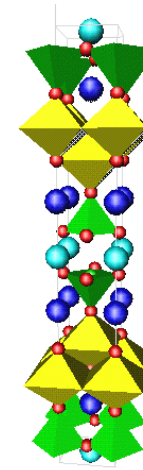
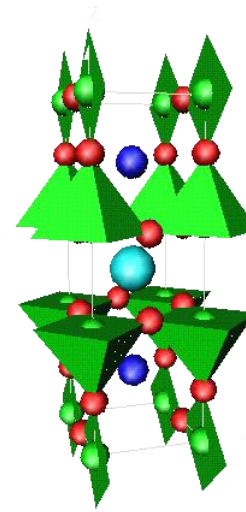
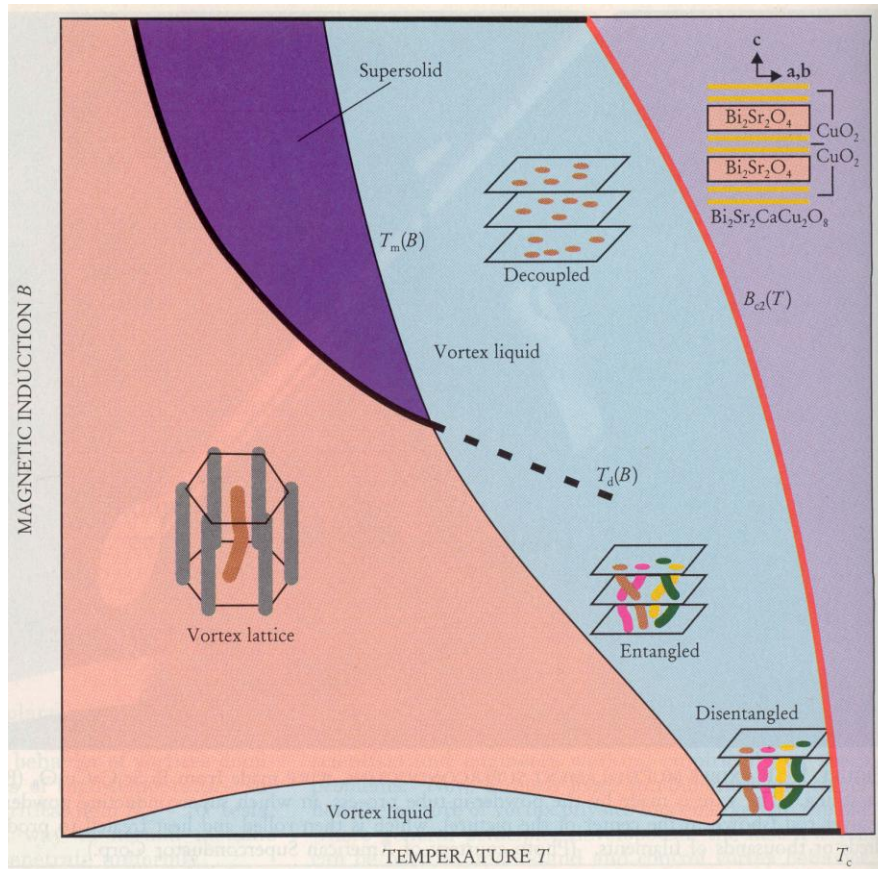


MgB₂



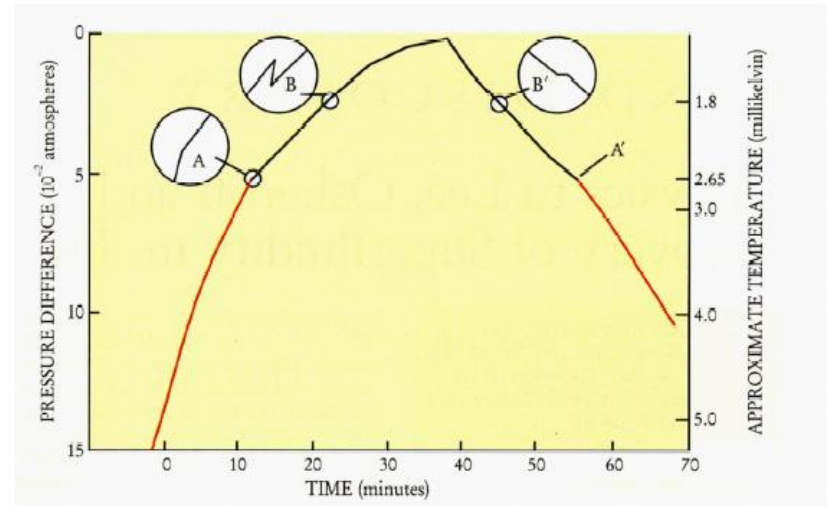
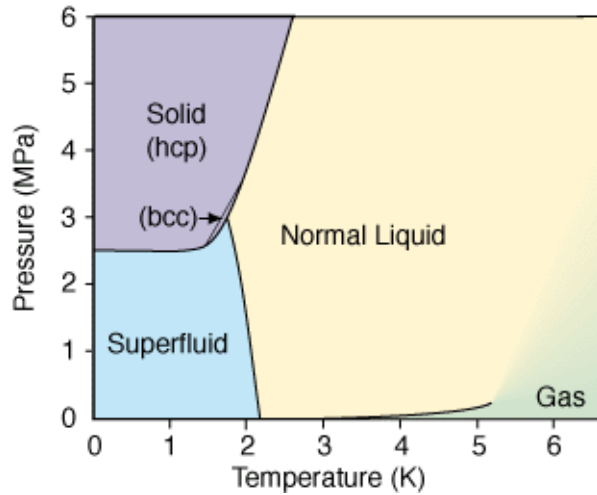
HTC kuprati

čisti superprevodnik

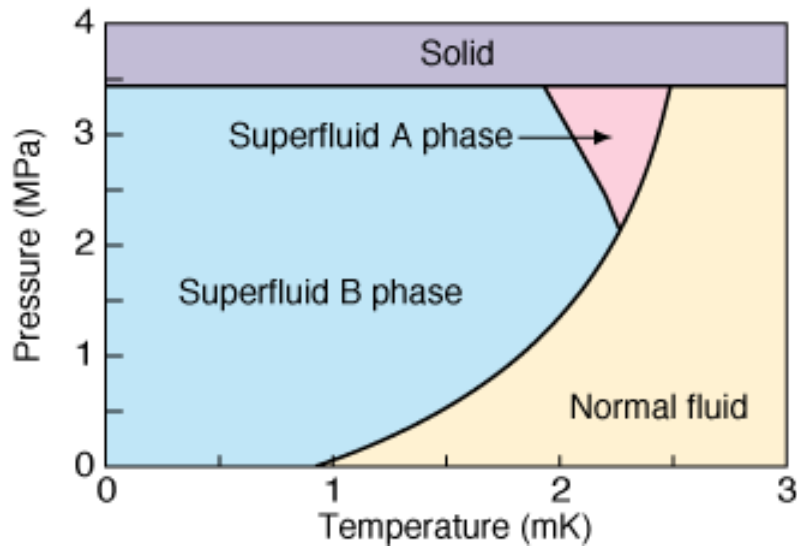


^3He – anizotropna supertekočina

^4He



^3He

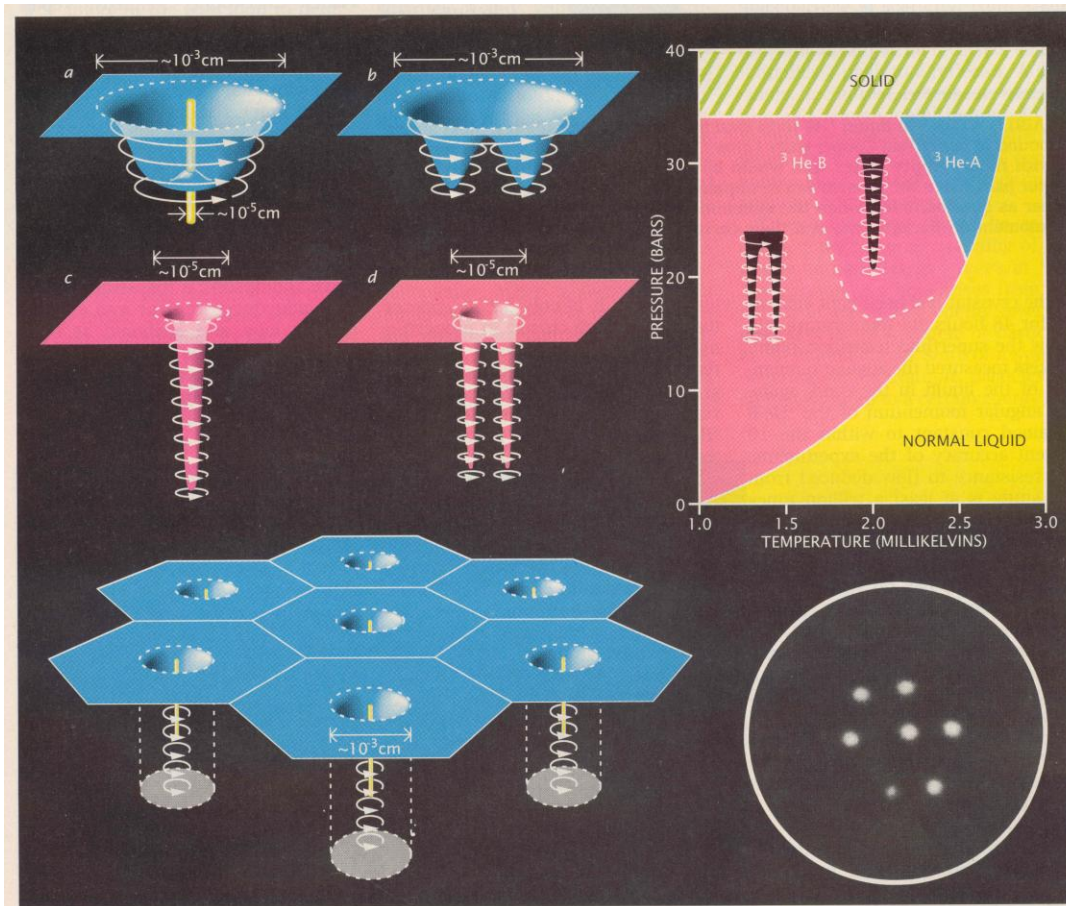
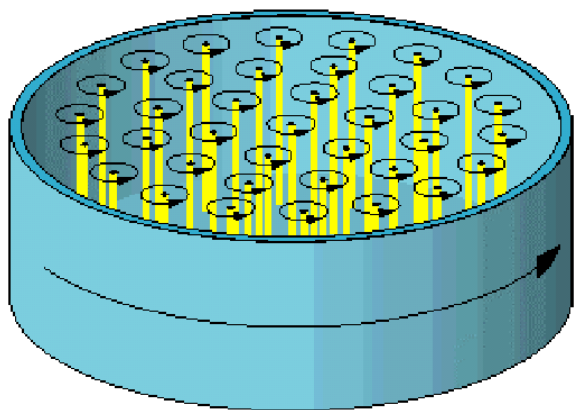


D. Osheroff, D. Lee in R. Richardson 1971

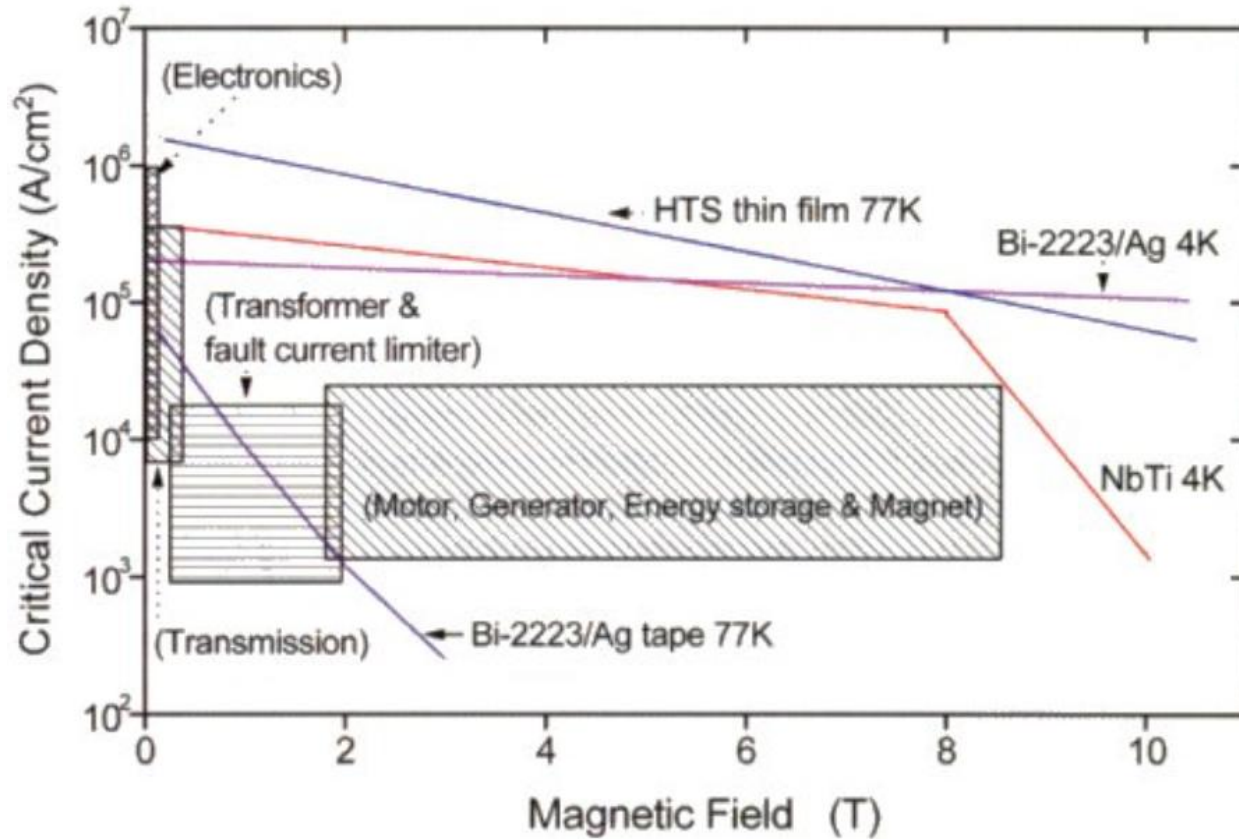
Nobelova nagrada 1996



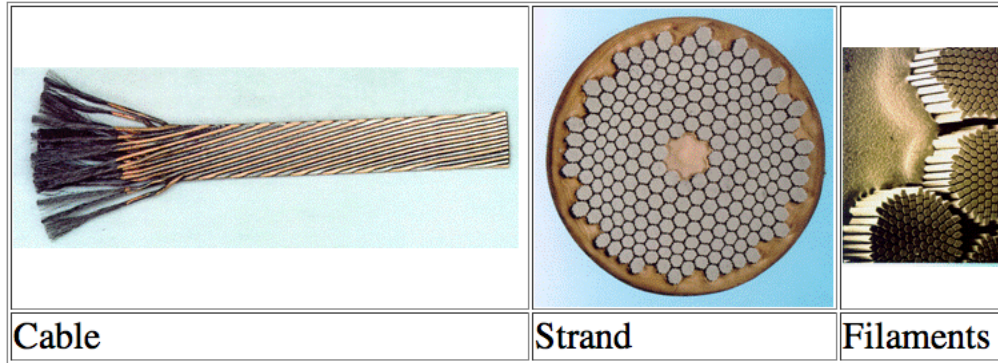
Vrtinci v superfluidu



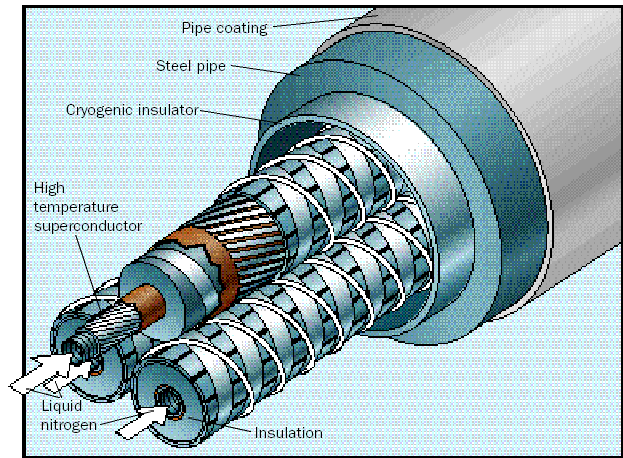
Uporaba superprevodnikov



SP kabli



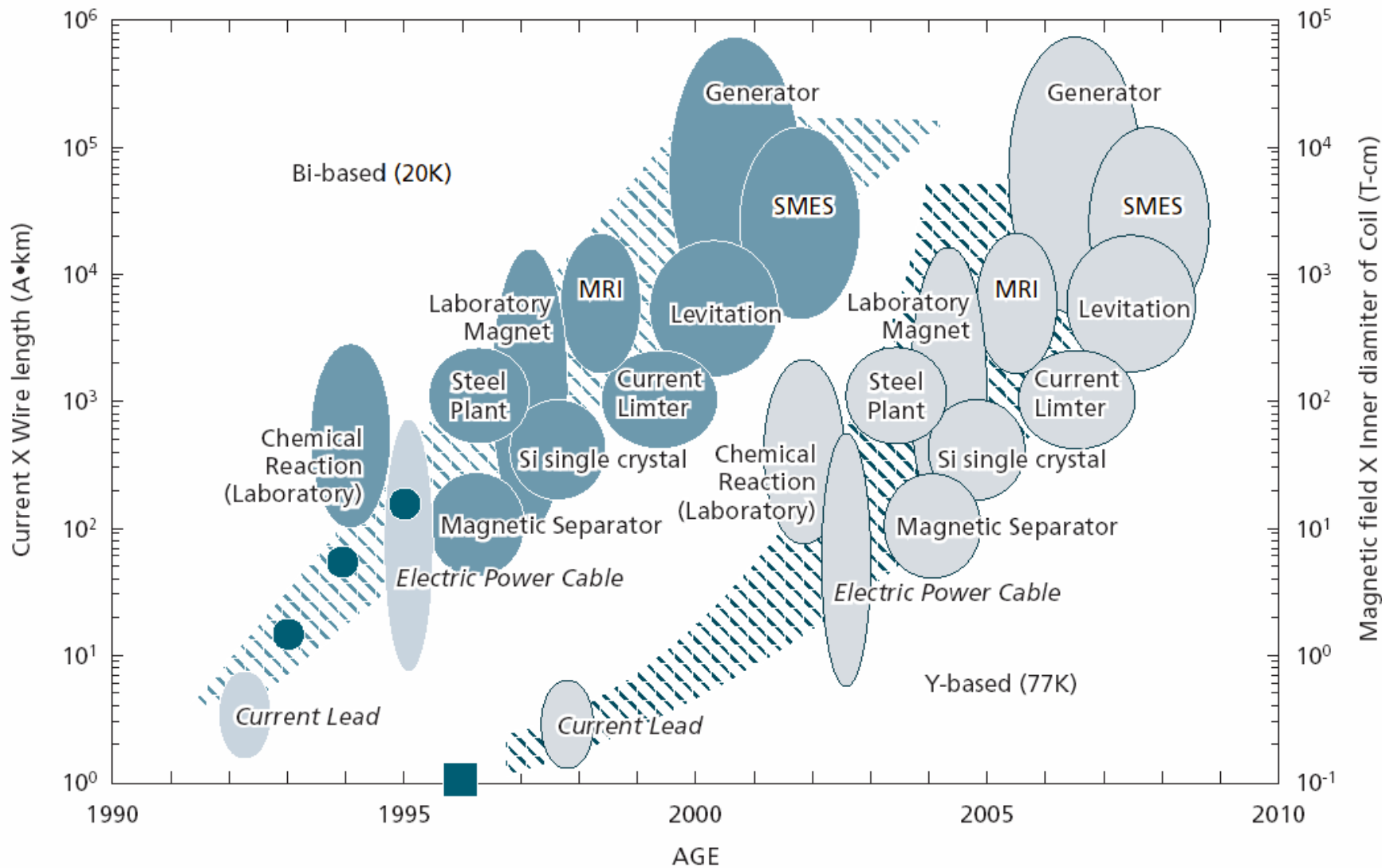
standardni SP: Nb Ti
LHC magneti



Superconducting power cable, with its low resistance, may transform the electric-power industry in much the same way that optical fibers transformed telecommunications.

HTC



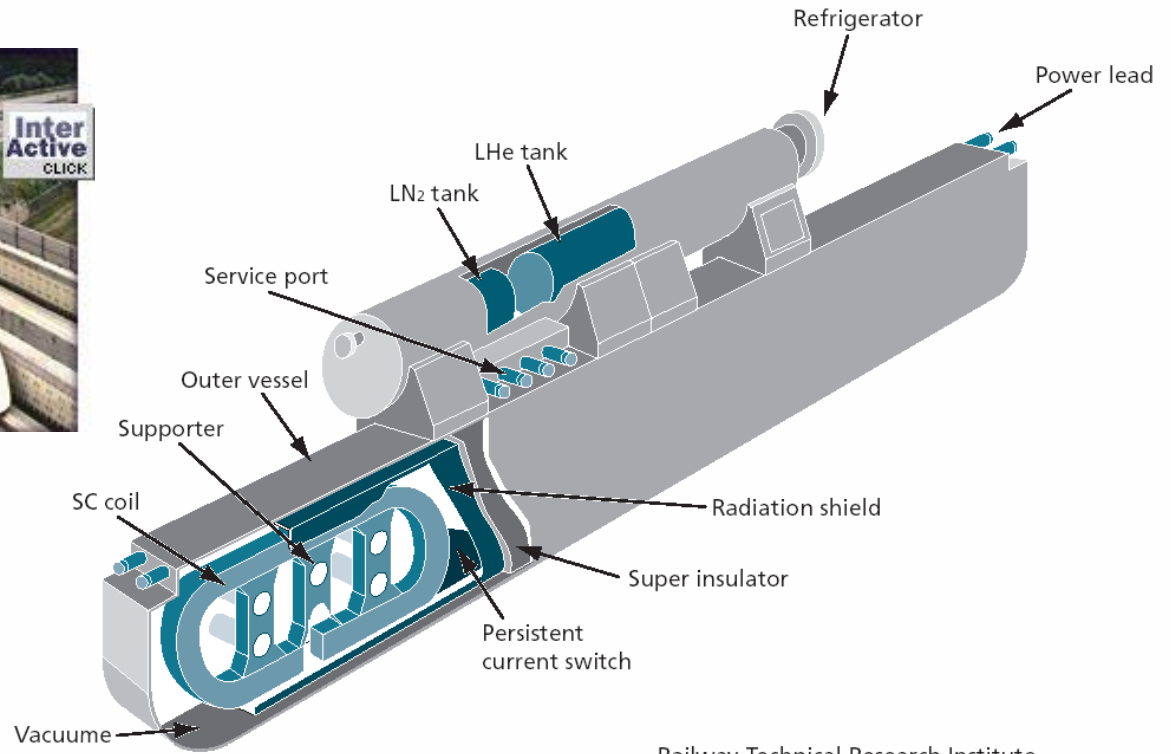


Expectations of the Development of Superconducting Tape

Levitacija



MAGLEV



Railway Technical Research Institute

Superconducting Magnet for MAGLEV Train

SP naslednjih 100 let

Nove SP snovi: višji T_c ? boljše snovne lastnosti

Razumevanje nekonvencionalne SP

Uporaba in tehnološki razvoj